

# Modelización y simulación numérica de los fenómenos de transferencia de calor en una tarjeta electrónica de uso espacial

Mataix Caballero, Diego

---

## Abstract

Del estudio de los fenómenos de transferencia de calor, tanto en términos de conducción como de radiación, surgen diversas opciones a la hora de modelizar un problema físico, cada una con un cierto nivel de complejidad. El estudio aquí desarrollado comprende el análisis de diversos modelos analíticos así como numéricos, para la resolución de la ecuación del calor para una tarjeta electrónica de uso espacial. Se realiza inicialmente una primera aproximación, considerando solo la transmisión de calor por conducción, pasando por la implementación de la radiación al problema, para finalmente desarrollar y resolver el modelo del problema térmico bidimensional a través del método de diferencias finitas. Finalmente, se comparan los resultados para determinar la eficacia de los métodos implementados en este estudio.

**Palabras clave:** Control térmico; Transferencia de calor; Conducción; Radiación; Simulación numérica; Tarjeta electrónica;

---

# Índice

<b>1. Introducción</b>	<b>4</b>
<b>2. Metodología</b>	<b>6</b>
2.1. Perfil de temperatura en la tarjeta electrónica considerando solo los fenómenos de conducción . . .	6
2.1.1. Primera aproximación . . . . .	6
2.1.2. Modelo unidimensional . . . . .	7
2.2. Transferencia de calor por radiación y conducción . . . . .	7
2.2.1. Modelo con las pérdidas radiativas linealizadas . . . . .	8
2.2.2. Modelo numérico unidimensional con disipación no uniforme . . . . .	9
2.3. Modelo térmico bidimensional . . . . .	10
<b>3. Resultados</b>	<b>11</b>
3.1. Perfil de temperatura en la tarjeta electrónica considerando solo los fenómenos de conducción . . .	12
3.1.1. Primera aproximación . . . . .	12
3.1.2. Modelo unidimensional . . . . .	12
3.2. Transferencia de calor por radiación y conducción . . . . .	14
3.2.1. Modelo con las pérdidas radiativas linealizadas . . . . .	14
3.2.2. Modelo numérico unidimensional con disipación no uniforme . . . . .	14
3.3. Modelo térmico bidimensional . . . . .	17
3.4. Observaciones de los resultados . . . . .	21
3.4.1. Resumen de los resultados . . . . .	21
3.4.2. Efecto de la densidad de la malla en el resultado de las simulaciones numéricas . . . . .	23
<b>4. Conclusiones</b>	<b>24</b>
<b>A. Anexo I</b>	<b>26</b>
<b>B. Anexo II</b>	<b>28</b>

# Índice de Figuras

1. Representación esquemática de la tarjeta electrónica estudiada. Vista frontal. El color naranja representa los IC y el azul el PCB. . . . .	4
2. Representación esquemática de la tarjeta electrónica estudiada. Vista lateral. El color naranja representa los IC, el amarillo el recubrimiento de cobre y el azul el PCB. . . . .	4
3. Modelo unidimensional de la tarjeta electrónica estudiada para representar sus discontinuidades. . .	7
4. Mallado del modelo bidimensional de la tarjeta electrónica estudiada. . . . .	11
5. Perfil de temperaturas en régimen estacionario asumiendo solo los fenómenos de conducción y disipación uniforme. . . . .	12
6. Perfil de temperaturas en régimen estacionario asumiendo solo los fenómenos de conducción y disipación no uniforme, en el límite $k_{IC} \rightarrow \infty$ . . . . .	13
7. Perfil de temperaturas en régimen estacionario asumiendo solo los fenómenos de conducción y disipación no uniforme, considerando la $k_{IC}$ dada. . . . .	13

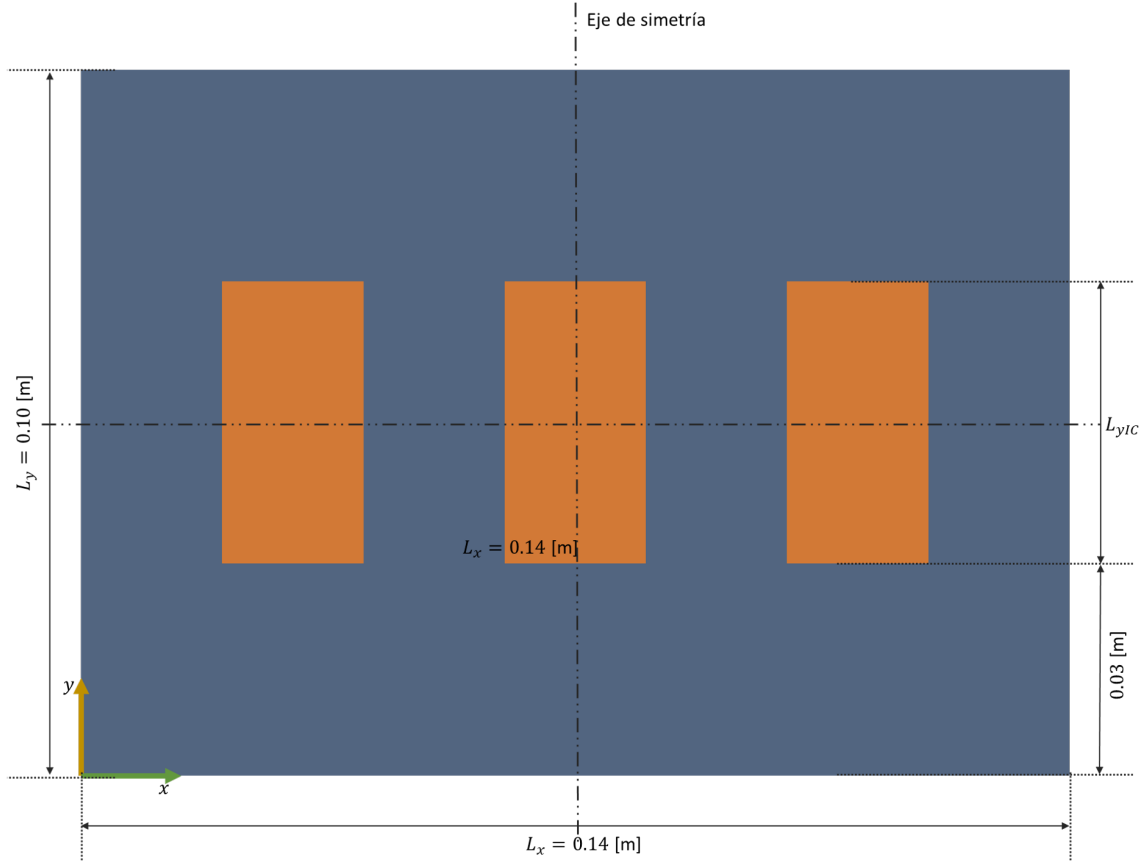
8.	Perfil de temperaturas en régimen estacionario asumiendo disipación uniforme y linealizando las pérdidas radiativas. . . . .	14
9.	De izquierda a derecha y de arriba a abajo: mapa de disipación volumétrica, $\phi$ [W/m <sup>3</sup> ], de conductividad térmica longitudinal, $k_{eff}$ [W/(m·K)], de área transversal, $A$ [m <sup>2</sup> ], de volumen, $V$ [m <sup>3</sup> ], y de capacidad térmica, $C$ [J/K]. . . . .	15
10.	Perfil de temperaturas en régimen estacionario asumiendo disipación no uniforme para la resolución numérica y analítica del problema planteado en la Sección 2.1 y 2.2. . . . .	16
11.	Perfil de temperaturas en régimen estacionario asumiendo disipación uniforme para la resolución numérica y analítica del problema planteado en la Sección 2.1 y 2.2. . . . .	16
12.	Arriba se muestra la temperatura de la tarjeta electrónica en distintos puntos respecto al tiempo, se observa el cambio de régimen transitorio a estacionario. Abajo se muestra el perfil de temperaturas del modelo térmico unidimensional, respecto a la distancia del eje $x$ , a distintos puntos temporales. . . . .	17
13.	De izquierda a derecha y de arriba a abajo: mapas de disipación volumétrica, $\phi(x, y)$ [W/m <sup>3</sup> ], de conductividad térmica longitudinal, $k_{eff}(x, y)$ [W/(m·K)], de espesor, $z(x, y)$ [m <sup>2</sup> ], de volumen, $V(x, y)$ [m <sup>3</sup> ], y de capacidad térmica, $C(x, y)$ [J/K]. . . . .	18
14.	Mapa de temperaturas $T(x, y)$ en el régimen estacionario. . . . .	19
15.	Mapa de temperaturas $T(x, y)$ en el régimen estacionario. Vista frontal. . . . .	19
16.	Mapa de temperaturas $T(x, y)$ en el régimen estacionario. Vista lateral. . . . .	20
17.	Contornos del mapa de temperaturas $T(x, y)$ en el régimen estacionario. . . . .	20
18.	Mapa de temperaturas $T(x, y, t)$ en el régimen transitorio y estacionario. De izquierda a derecha y de arriba a abajo: instantes de tiempo distintos para el mapa de temperaturas, desde el momento inicial, pasando por el régimen transitorio hasta llegar en la última imagen al régimen estacionario. . . . .	21
19.	Perfiles de temperaturas en régimen estacionario para casos de disipación uniforme y no uniforme, así como para la resolución numérica y analítica del problema planteado en la Sección 2.1. . . . .	22
20.	Perfiles de temperaturas en régimen estacionario para casos de disipación uniforme y no uniforme, así como para la resolución numérica y analítica del problema planteado en la Sección 2.2. . . . .	22
21.	Perfiles de temperaturas en régimen estacionario asumiendo disipación no uniforme, para la resolución numérica y analítica del problema planteado en las Secciones 2.1, 2.2 y 2.3. . . . .	23

## Índice de Tablas

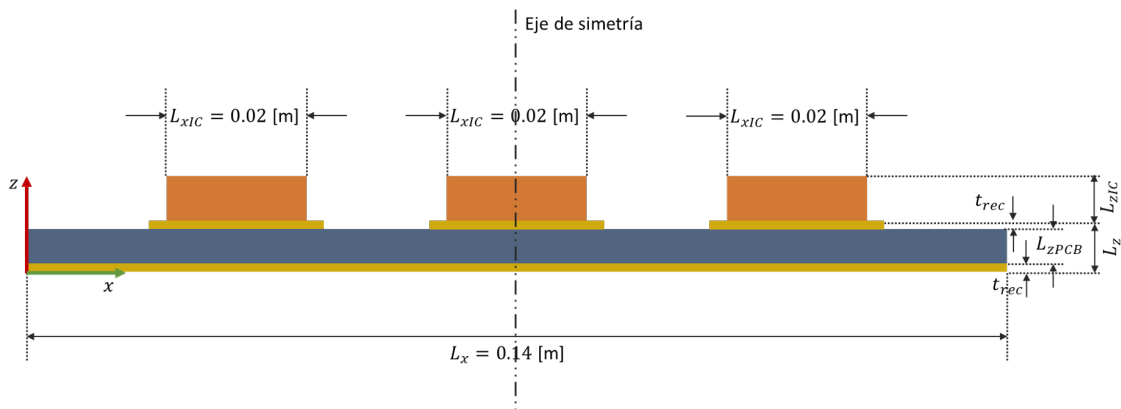
1.	Propiedades del FR4. . . . .	5
2.	Propiedades del cobre. . . . .	5
3.	Propiedades de los circuitos integrados. . . . .	5
4.	Comparativa entre los resultados obtenidos con el método analítico y numérico para los modelos que no consideran las pérdidas radiativas . . . . .	17
5.	Comparativa entre los resultados obtenidos con el método analítico y numérico para todos los modelos estudiados. . . . .	23
6.	Comparativa entre los resultados obtenidos en el modelo térmico bidimensional estacionario para distintos niveles de discretización de los elementos espaciales. . . . .	24

# 1. Introducción

El estudio consiste en la modelización y simulación numérica de los fenómenos de transferencia de calor en una tarjeta electrónica que consta de tres circuitos integrados (IC) que disipan 5 W cada uno. La geometría de la tarjeta está representada en las Figuras 1 y 2. Como se puede observar esta es simétrica en los ejes  $x$  e  $y$ . Además, la PCB tiene un recubrimiento de cobre por cada lado, que en una de las caras es continuo, y en la otra, donde van montados los IC, sólo ocupa el 10 % de la superficie.



**Figura 1:** Representación esquemática de la tarjeta electrónica estudiada. Vista frontal. El color naranja representa los IC y el azul el PCB.



**Figura 2:** Representación esquemática de la tarjeta electrónica estudiada. Vista lateral. El color naranja representa los IC, el amarillo el recubrimiento de cobre y el azul el PCB.

Las Tablas 1, 2 y 3 muestran las propiedades de conductividad, densidad, capacidad térmica y geometría de los distintos componentes que componen la tarjeta electrónica.

**Tabla 1:** Propiedades del FR4.

Geometría	[m]
$L_x$	0.140
$L_y$	0.100
$L_z$	0.0015
Conductividad	[W/(m·K)]
$k_{xy}$	0.5
$k_z$	0.25
Densidad	[kg/m <sup>3</sup> ]
$\rho$	3000
Capacidad térmica	[J/(kg·K)]
$c$	1850

**Tabla 2:** Propiedades del cobre.

Geometría	[m]
$L_x$	0.140
$L_y$	0.100
$L_z$	0.0015
Conductividad	[W/(m·K)]
$k$	395
$f$ (parte superior)	0.1
Densidad	[kg/m <sup>3</sup> ]
$\rho$	8260
Capacidad térmica	[J/(kg·K)]
$c$	385

**Tabla 3:** Propiedades de los circuitos integrados.

Geometría	[m]
$L_x$	0.020
$L_y$	0.040
$L_z$	0.003
Separación	0.020
Conductividad	[W/(m·K)]
$k$	50
Capacidad térmica	[J/K]
$C$	20
Potencia	[W]
$\dot{W}$	5

Por otro lado cabe destacar que se supondrá que los lados cortos, que se encuentran en las coordenadas  $x = 0$  y  $x = L_x$  (Figura 1), de la PCB tienen contacto térmico perfecto con paredes permanentemente a 298.15 K, y que los otros dos bordes están térmicamente aislados.

El estudio se realiza en primer lugar con un modelo muy simplificado, unidimensional y asumiendo disipación uniforme y considerando solo los fenómenos de transferencia de calor por conducción. A este modelo se le va incorporando mayor complejidad, pasando a considerar la disipación no uniforme y la transmisión de calor por radiación, para finalmente plantear y resolver el modelo térmico unidimensional y bidimensional de manera numérica a través del método de diferencias finitas (FDM). [1]

Aunque la implementación del método FDM es relativamente sencilla, puede presentar dificultades en casos en los que la geometría es compleja, por lo que una gran parte de los modelos de transferencia de calor no se basan en el método de diferencias finitas. En cambio, se utilizan métodos como el de elementos finitos (FEM), o, para situaciones en las que los acoplamientos radiativos son complejos, se recurre al método de los elementos discretos con seguimiento estadístico de rayos. [2] Por lo que en áreas como la del control térmico espacial (CTE) se suele recurrir a programas tales como ESATAN. Aunque su funcionamiento es interesante, su aplicación está fuera de los objetivos de este estudio.

Este estudio recoge finalmente una comparativa entre los modelos estudiados, con el objetivo de determinar cómo de eficaces son los modelos unidimensionales respecto a los bidimensionales, así como comparar los resultados obtenidos de manera analítica y numérica.

## 2. Metodología

En este apartado se exponen las distintas metodologías empleadas para la resolución del problema, cada una contando con un nivel añadido de complejidad. Se comienza considerando sólo la transferencia de calor por conducción y que la tarjeta sólo evacua calor por los bordes. Para una primera aproximación se considera además que la disipación está uniformemente repartida en la PCB y los IC no influyen, y se prosigue el análisis con un modelo unidimensional en el que los IC llegan hasta los bordes aislados. Posteriormente se incluye el efecto de la transferencia de calor por radiación en la ecuación del calor, esto se hace primero a través de un análisis unidimensional, asumiendo disipación uniforme y linealizando las pérdidas radiativas, lo que permite determinar la solución analíticamente, seguido de la resolución del modelo FDM sin linealizar y con disipación no uniforme. Finalmente, se desarrolla y se resuelve el modelo térmico bidimensional del problema. Toda la metodología aquí descrita ha sido implementada a través de un programa de MATLAB, que se adjunta en los Anexos A y B.

### 2.1. Perfil de temperatura en la tarjeta electrónica considerando solo los fenómenos de conducción

En primer lugar se considera únicamente la transferencia de calor por conducción, que viene definida por la Ecuación 1:

$$\vec{q} = K \Delta T \left\{ \begin{array}{l} \text{conducción} \end{array} \right. \quad \vec{q} \equiv -k \nabla T \quad \left( \text{unidimensional} : \dot{q} = -k \frac{\partial T}{\partial x} \right) , \quad (1)$$

donde  $\vec{q}$  es la densidad de flujo de calor,  $K$  es el coeficiente de transmitancia,  $k$  es la conductividad térmica,  $\Delta T$  es la diferencia de temperatura y  $\frac{\partial T}{\partial x}$  es la derivada parcial de la temperatura respecto a la posición en el eje  $x$ . En este caso se considera la ecuación en su forma unidimensional así como que la tarjeta sólo evacua calor por los bordes.

#### 2.1.1. Primera aproximación

En esta primera aproximación se pretende determinar la temperatura máxima que se alcanzaría si toda la disipación estuviese uniformemente repartida en la PCB y los IC no influyeran. Para ello se plantea la ecuación de la temperatura que resulta de esta forma:

$$T = a + b x - \frac{\phi x^2}{2k}, \quad (2)$$

donde  $\phi$  es la disipación volumétrica, y  $a$  y  $b$  son los coeficientes que vienen dados por las Ecuaciones 3 y 4:

$$a = T_b, \quad (3)$$

$$b = \frac{Q}{A k}, \quad (4)$$

donde  $Q$  es la potencia disipada y  $A$  es el área transversal.

Para aplicar esta metodología al problema descrito en la Sección 1, se recurre al valor de la conductividad térmica efectiva,  $k_{eff}$ . Este parámetro nos permite simplificar el modelo, y viene dado por:

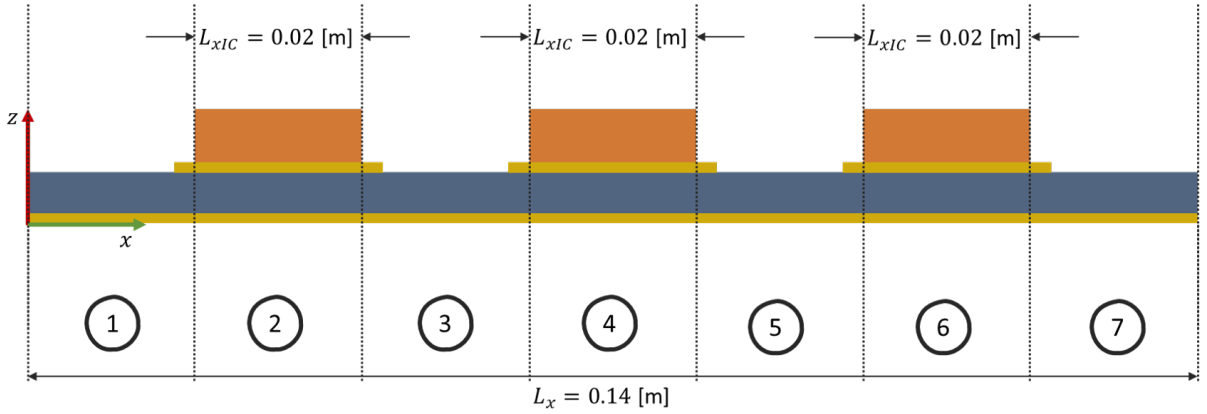
$$k_{eff} = \frac{\sum k_i A_i f_i}{A_{eff}} \quad (5)$$

donde  $k_i$  es el valor de la conductividad térmica efectiva, y  $A_i$  es el espesor de la capa.

### 2.1.2. Modelo unidimensional

Con el fin de obtener un modelo más cercano a la realidad se plantea un modelo unidimensional en el que los IC llegan hasta los bordes aislados, y se considera la conductividad térmica de los IC en el límite  $k_{IC} \rightarrow \infty$  y con la  $k_{IC}$  dada.

En este caso es necesario representar las discontinuidades de las propiedades de la tarjeta electrónica, por lo que se requiere determinar la conductividad térmica efectiva en los segmentos de la tarjeta donde se encuentran los IC, así como considerar el área en esas zonas, y que la disipación volumétrica,  $\phi$ , es nula en los segmentos donde no hay circuitos. En la Figura 3 se muestra la división que se ha realizado de la tarjeta en 7 segmentos equiespaciados.



**Figura 3:** Modelo unidimensional de la tarjeta electrónica estudiada para representar sus discontinuidades.

Por lo tanto, es necesario plantear la Ecuación 2 para los tramos donde se encuentran los circuitos integrados, ya que los circuitos generan calor, y, para los tramos donde no se disipa calor, la Ecuación 2 pasar a ser lineal, por lo que tiene esta forma:

$$T = \frac{Q x}{A k} + a. \quad (6)$$

De este modo se obtiene un perfil de temperaturas en el que, para los segmentos donde no hay circuitos la temperatura sigue una recta, y en los segmentos donde se encuentran los IC la temperatura está descrita por una parábola. En el caso de  $k_{IC} \rightarrow \infty$  la temperatura en todos los segmentos viene descrita por una recta.

## 2.2. Transferencia de calor por radiación y conducción

Habiendo realizado un análisis de la transferencia de calor por conducción en el sistema, se desea implementar un modelo que incluya también la transmisión de calor por radiación. De esta forma, los modos de transmisión de calor (Ecuación 7) pasan a ser:

$$\vec{q} = K \Delta T \begin{cases} \text{conducción} & \vec{q} \equiv -k \nabla T \quad (\text{unidimensional} : \dot{q} = -k \frac{\partial T}{\partial x}, \dot{q} = -k \frac{\partial T}{\partial r}) \\ \text{radiación} & \dot{q} = \varepsilon F \sigma (T^4 - T_0^4) \quad (\varepsilon < 1, F < 1, \sigma = 5,67 \cdot 10^{-8} \text{ W} / (\text{m}^2 \cdot \text{K}^4)) \end{cases}, \quad (7)$$

donde  $\varepsilon$  es la emisividad media y  $\sigma$  es la constante de Stefan–Boltzmann. Nótese que en la transferencia de calor por radiación las superficies se suponen isotermas y que el campo de temperatura en el interior solo se requiere resolver en problemas de conducción de calor.

### 2.2.1. Modelo con las pérdidas radiativas linealizadas

Se añade un nivel de dificultad al modelo, pasando a considerar que se transmite calor por radiación, con una emisividad media de 0,7 por el lado de los componentes, y de 0,5 por la cara opuesta, suponiendo la caja electrónica como un cuerpo negro a 318.15 K. En este caso, se implementa la radiación al modelo linealizando las pérdidas radiativas y considerando la disipación como uniforme, por lo que se resuelve el problema de manera analítica. Para ello, se procede desde la ecuación del calor:

$$\rho A \frac{\partial T}{\partial t} = \dot{W}_{\text{dis}} + \dot{Q}_{\text{cond}} + \dot{Q}_{\text{conv}} + \dot{Q}_{\text{rad}} = \phi A dx - kA \frac{\partial T}{\partial x} + kA \left( \frac{\partial T}{\partial x} + \frac{\partial^2 T}{\partial x^2} dx \right) - h_p dx (T - T_\infty) - \varepsilon p dx \sigma (T^4 - T_\infty^4), \quad (8)$$

donde  $\rho$  es la densidad,  $\dot{W}_{\text{dis}}$  es la potencia disipada,  $\dot{Q}_{\text{cond}}$  es el flujo de calor por conducción,  $\dot{Q}_{\text{conv}}$  es el flujo de calor por convección,  $\dot{Q}_{\text{rad}}$  es el flujo de calor por radiación,  $p$  es el perímetro bañado y  $T_\infty$  es la temperatura del cuerpo negro. Al no haber transmisión de calor por conducción, considerando solamente el régimen estacionario y operando, la Ecuación 8 pasa a ser:

$$0 = \phi A + kA \frac{d^2 T}{dx^2} - \varepsilon p \sigma (T^4 - T_\infty^4). \quad (9)$$

Linealizando las pérdidas radiativas, se llega a la EDO:

$$0 = \phi A + kA \frac{d^2 T}{dx^2} - 4\varepsilon p \sigma T_{\text{avg}}^3 (T - T_\infty), \quad (10)$$

donde  $T_{\text{avg}}$  es la temperatura media usada para linealizar las pérdidas radiativas. Para simplificar la Ecuación 10, se define el parámetro  $\xi$ :

$$\xi = 4 T_{\text{avg}}^3 \varepsilon p \sigma, \quad (11)$$

por lo que podemos plantear la EDO (Ecuación 10) de esta forma:

$$kA \frac{d^2 (T - T_\infty - \frac{\phi A}{\xi})}{dx^2} = \xi (T - T_\infty - \frac{\phi A}{\xi}). \quad (12)$$

Al encontrarnos ante una EDO homogénea, la solución es de la forma:

$$(T - T_\infty - \frac{\phi A}{\xi}) = c_1 e^{\lambda_1 x} + c_2 e^{\lambda_2 x}, \quad (13)$$

donde  $\lambda_1$  y  $\lambda_2$  son los autovalores y  $c_1$  y  $c_2$  son los coeficientes de la solución. Operando, se llega a que los autovalores están definidos por:

$$\lambda = \sqrt{\frac{\xi}{Ak}}. \quad (14)$$

Finalmente, se aplican las condiciones de contorno para obtener los coeficientes  $c_1$  y  $c_2$ . Cabe destacar que se emplea el sistema de coordenadas definido en la Figura 2. Las condiciones que se imponen son las de temperatura del borde fija a 298.15 K, y que en el punto  $L_x/2$  la derivada de la temperatura respecto a la coordenada  $x$  es igual a 0, ya que ahí se encuentra el máximo de la parábola que define el perfil de temperaturas. De este modo se consiguen unas expresiones para los coeficientes de la Ecuación 13:

$$c_2 = T_b - T_\infty - \frac{A \phi}{\xi (e^{-L_x \lambda} + 1)}, \quad (15)$$



$$c_1 = c_2 e^{-L_x \lambda}. \quad (16)$$

Por lo que la solución general está definida por:

$$T = c_1 e^{\sqrt{\frac{\xi}{A k}} x} + c_2 e^{-\sqrt{\frac{\xi}{A k}} x} + T_\infty + \frac{A \phi}{\xi}. \quad (17)$$

### 2.2.2. Modelo numérico unidimensional con disipación no uniforme

Con el fin de resolver el caso anterior pero sin linealizar las pérdidas radiativas y considerando la disipación como no uniforme, se recurre al uso de métodos numéricos, en específico se emplea el método de diferencias finitas (FDM), transformando el problema continuo en un problema discreto. Aunque suele discretizarse la ecuación del calor en su forma diferencial, en este estudio se emplea la ecuación en su forma integral. De esta forma, se sustituyen la derivadas espaciales por incrementos centrados, y la derivada temporal por el incremento hacia adelante.

Se define el problema en su caso unidimensional, lo que permite validar el modelo con los resultados analíticos obtenidos en apartados anteriores. Por lo tanto, es necesario discretizar la solución  $T(x)$  en  $N+1$  puntos espaciales ( $T_i$ ), a lo largo del eje  $x$  de la tarjeta electrónica, obteniéndose una malla espacial equiespaciada que empieza y acaba en los bordes de la tarjeta, pues queremos saber las temperaturas superficiales. Al usarse los valores de las variables en el instante anterior, que es conocido, el método se considera explícito. Por lo tanto a partir del 2° principio de la Termodinámica, se puede demostrar que el método explícito requiere de una discretización temporal fina, mucho mayor que la espacial. En términos del número de Fourier se requiere que este sea menor a 0.5:  $Fo < \frac{1}{2}$  [2].

La ecuación en su forma de FDM para un tramo pasa a ser:

$$T_i^{j+1} = T_i^j + DtrcA_i [kALapla_i^j + \phi_i^j A_i - phDT_i^j], \quad (18)$$

donde los subíndices  $i$  determinan la posición espacial y los superíndices  $j$ , definen el instante de tiempo. De este modo  $T_i^j$  es el término de la temperatura en el punto espacial  $i$  y en el instante de tiempo  $j+1$  (instante actual que se desea calcular) y  $T_i^j$  es el término de la temperatura en el punto espacial  $i$  y en el instante de tiempo  $j$  (instante anterior). El procedimiento consiste en imponer una distribución inicial conocida de temperaturas,  $T_i^{j=1}$  (en este caso se considera que toda la tarjeta se encuentra a la temperatura de los bordes cortos, 298.15 K), y se calcula la nueva distribución en cada instante posterior. En los nodos que se encuentran en los extremos, en  $i=1$  e  $i=N+1$ , se aplican las condiciones de contorno conocidas.

Con el fin de hacer la ecuación 18 más manejable, se definen 3 macro-variables: el vector  $DtrcA_i$ , y las matrices  $kALapla_i^j$  y  $phDT_i^j$ , que representan los términos debidos a la conducción y la convección y radiación respectivamente. Su definición se muestra en las Ecuaciones 19, 20 y 21:

$$DtrcA_i \equiv \frac{\Delta t}{\rho_i c_i A_i}, \quad (19)$$

$$kALapla_i^j \equiv k_{i+} A_{i+} \frac{T_{i+1}^j - T_i^j}{(\Delta x)^2} - k_{i-} A_{i-} \frac{T_i^j - T_{i-1}^j}{(\Delta x)^2}, \quad (20)$$

$$phDT_i^j \equiv p_i [h_i (T_i^j - T_\infty) + \varepsilon_i \sigma (T_i^{j4} - T_\infty^4) - E_i], \quad (21)$$

donde los términos  $h_i$  y  $E_i$  son nulos, y  $k_{i+}$ ,  $A_{i+}$ ,  $k_{i-}$  y  $A_{i-}$  son la media entre los términos  $i$  e  $i+1$  en los primeros dos casos, y entre los términos  $i$  e  $i-1$  en los otros dos casos. Cabe destacar, que la tarjeta electrónica no cuenta

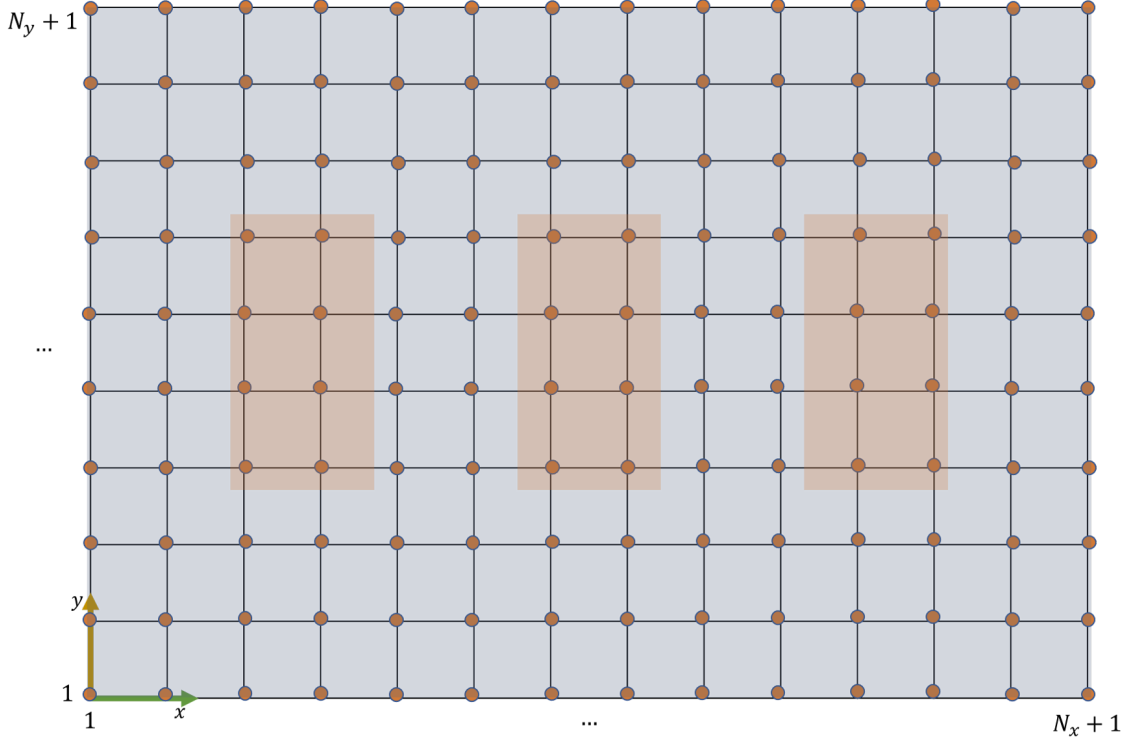
con propiedades uniformes, por lo que se tendrán que representar las discontinuidades de las propiedades como la conductividad efectiva, la capacidad térmica, el área, el volumen y la disipación volumétrica en forma vectorial.

Con el objetivo de validar el modelo numérico de diferencias finitas, previo a realizar el estudio incluyendo la radiación, se emplea el modelo unidimensional considerando solo fenómenos de conducción, para los casos de disipación uniforme y no uniforme. De este modo se comparan los resultados con los obtenidos con la metodología descrita en la Sección 2.1. Si los resultados concuerdan entre sí, se considera que el modelo está bien planteado y se prosigue resolviendo el problema térmico unidimensional, para el caso de régimen transitorio y estacionario.

### 2.3. Modelo térmico bidimensional

De manera similar al caso anterior, se resuelve el problema térmico bidimensional estacionario. Este modelo ya no asume que los IC llegan hasta los bordes aislados, por lo que es necesario representarlos de manera bidimensional, y redefinir las discontinuidades de las propiedades descritas en la Sección 2.2.2. En este caso contamos con una matriz espacio-temporal de temperaturas que tiene la forma  $T(1 : M + 1, 1 : N_y + 1, 1 : N_x + 1)$ , siendo  $N_x$  y  $N_y$  los números de tramos en la discretización espacial en los ejes  $x$  e  $y$  respectivamente. Además, en los extremos térmicamente aislados, se requiere actualizar en cada iteración la temperatura en el borde.

Respecto al mallado del problema, la Figura 4, muestra claramente la principal dificultad que se encuentra a la hora de implementarse. Ya que no en todos los casos el número de elementos y de nodos hará que estos últimos coincidan exactamente donde se encuentran las discontinuidades. Por lo tanto, es necesario interpolar, en esos puntos, los valores de las propiedades de conductividad efectiva, capacidad térmica, disipación volumétrica, etc. De esta forma se evita tener que realizar una discretización espacial muy fina que requiera a su vez de una discretización temporal aún mayor, que resulte en unos requisitos de esfuerzo computacional y memoria que estarían fuera del alcance de este estudio.



**Figura 4:** Mallado del modelo bidimensional de la tarjeta electrónica estudiada.

En el caso del problema térmico bidimensional, la Ecuación 18 pasa a ser:

$$T_{j,i}^{k+1} = T_{j,i}^k + Dtrcz_{j,i} \left[ kzLaplx_{j,i}^k + kzLaply_{j,i}^k + \phi_{j,i}^k z_{j,i}^k - hDT_{j,i}^k \right], \quad (22)$$

donde se han definido 4 macro-variables para hacer más asequible la expresión. Estas 4 variables son: el vector  $Dtrcz_{j,i}$ , las matrices  $kzLaplx_{j,i}^k$  y  $kzLaply_{j,i}^k$  que representan los términos debidos a la conducción en el eje  $x$  e  $y$ , y la matriz  $hDT_{j,i}^k$  que contiene los términos debidos a la radiación. Su definición se muestra en las Ecuaciones 19, 20 y 21:

$$Dtrcz_{j,i} \equiv \frac{\Delta t}{\rho_{j,i} c_{j,i} z_{j,i}}, \quad (23)$$

$$kzLaplx_{j,i}^k = k_{j,i+1} \frac{T_{j,i+1}^k - T_{j,i}^k}{(\Delta x)^2} - k_{j,i-1} \frac{T_{j,i}^k - T_{j,i-1}^k}{(\Delta x)^2}, \quad (24)$$

$$kzLaply_{j,i}^k = k_{j+1,i} \frac{T_{j+1,i}^k - T_{j,i}^k}{(\Delta y)^2} - k_{j-1,i} \frac{T_{j,i}^k - T_{j-1,i}^k}{(\Delta y)^2}, \quad (25)$$

$$hDT_{j,i}^k = (\varepsilon_{ji,up} + \varepsilon_{ji,dw}) \sigma (T_{j,i}^{k4} - T_{\infty}^4), \quad (26)$$

donde se han excluido los términos debidos a los fenómenos de conducción, y, a diferencia del caso unidimensional, se emplean los términos  $z_{j,i}$  referentes a el espesor en cada punto de la tarjeta.

### 3. Resultados

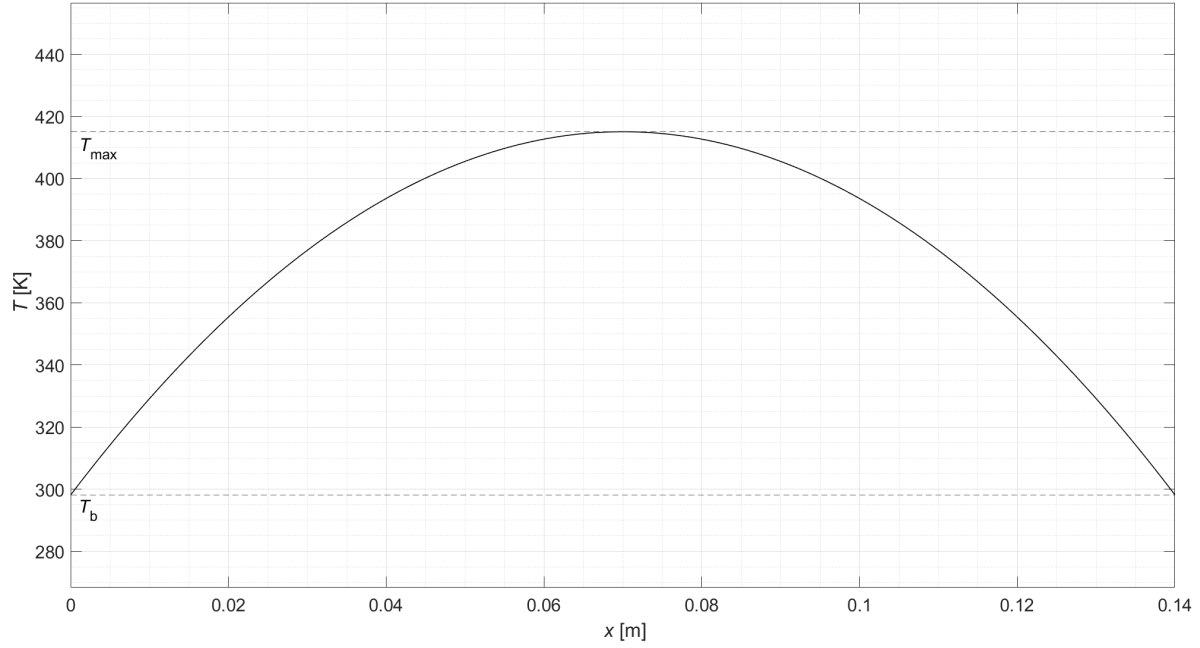
Una vez realizado el estudio, se presentan los resultados obtenidos para los modelos descritos en la Sección 2, con el objetivo de comparar los perfiles de temperaturas y las temperaturas máximas que se consiguen con cada modelo.

### 3.1. Perfil de temperatura en la tarjeta electrónica considerando solo los fenómenos de conducción

En esta sección se exponen los resultados de los modelos analíticos descritos en las Secciones 2.1.1 y 2.1.2, que consideran únicamente la transmisión de calor por conducción.

#### 3.1.1. Primera aproximación

En la primera aproximación se obtiene una distribución de temperaturas de forma parabólica, que presenta un máximo en el centro del eje  $x$  de la tarjeta, como se muestra en la Figura 5.



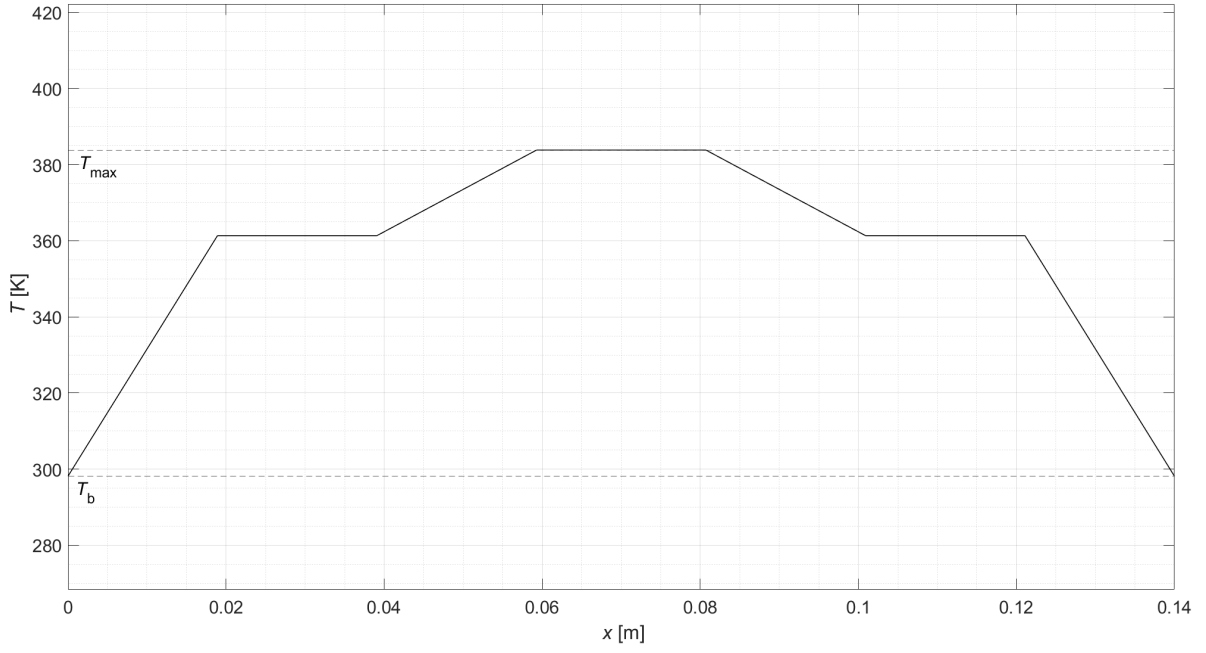
**Figura 5:** Perfil de temperaturas en régimen estacionario asumiendo solo los fenómenos de conducción y disipación uniforme.

Con las simplificaciones efectuadas para obtener esta solución a través de un método analítico, se llega a que la temperatura máxima que se alcanza,  $T_{\max}$ , es de 415.1 K.

#### 3.1.2. Modelo unidimensional

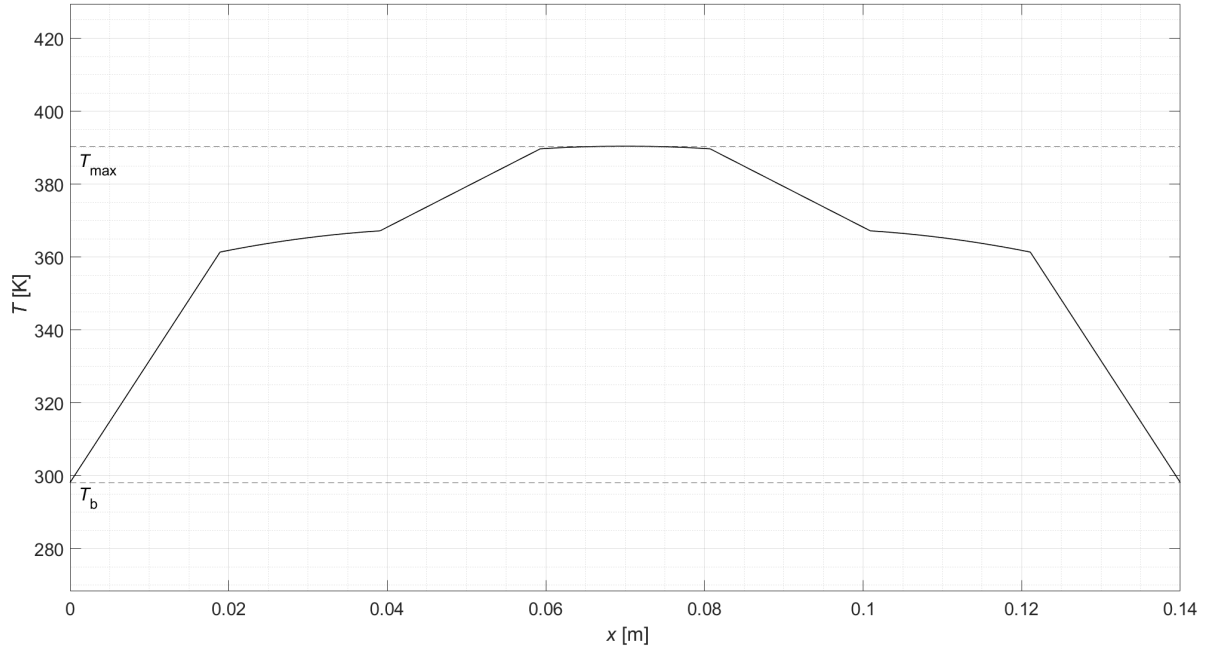
Dividiendo la tarjeta en 7 segmentos equiespaciados con el fin de representar las discontinuidades y la no uniformidad de la disipación, se llega a una mejor aproximación donde la  $T_{\max}$  alcanzada es significativamente menor.

Realizando este análisis, y considerando que en el límite  $k_{IC} \rightarrow \infty$ , se llega a un perfil de temperaturas compuesto por 7 rectas, en las que para los segmentos donde se encuentran los circuitos integrados la temperatura es constante, como se muestra en la Figura 6. Donde  $k_{IC}$  es la conductividad térmica en los tramos que cuentan con IC. En este caso, se obtiene una  $T_{\max}$  de 383.8 K.



**Figura 6:** Perfil de temperaturas en régimen estacionario asumiendo solo los fenómenos de conducción y disipación no uniforme, en el límite  $k_{IC} \rightarrow \infty$ .

Por otro lado, considerando la  $k_{IC}$  dada, se obtiene un perfil de temperaturas en el que, para los segmentos donde no hay circuitos la temperatura sigue una recta, y en los segmentos donde se encuentran los IC la temperatura está descrita por una parábola (Figura 7). De este modo, se obtiene una  $T_{\max}$  de 390.4 K, casi 7 K superior a la del caso de  $k_{IC} \rightarrow \infty$ , como es de esperar.



**Figura 7:** Perfil de temperaturas en régimen estacionario asumiendo solo los fenómenos de conducción y disipación no uniforme, considerando la  $k_{IC}$  dada.

Al ser una mejor aproximación al problema real, de aquí en adelante se considera solo la solución en la que se

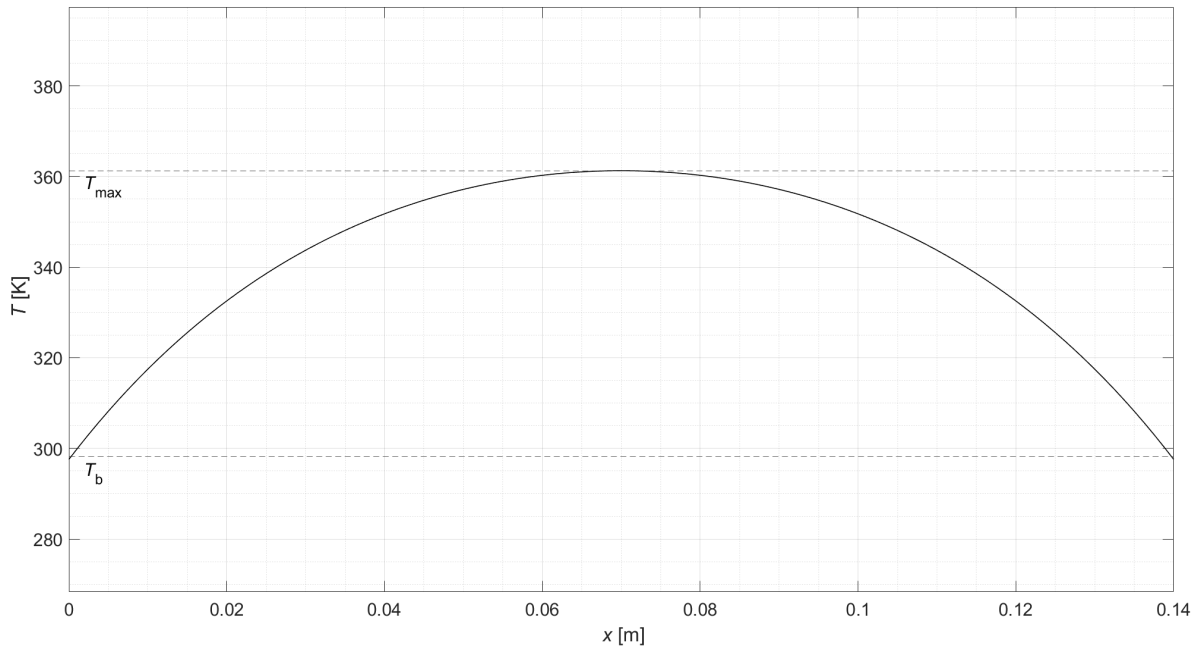
emplea la  $k_{IC}$  dada.

### 3.2. Transferencia de calor por radiación y conducción

En esta sección se exponen los resultados obtenidos con la metodología descrita en la Sección 2.2, es decir, se consideran los modos de transmisión de calor por conducción y por radiación.

#### 3.2.1. Modelo con las pérdidas radiativas linealizadas

Linealizando las pérdidas y considerando disipación uniforme (Sección 2.2.1), se obtiene una EDO que, al resolverla, se llega a una expresión que describe el perfil de temperaturas en la tarjeta electrónica.



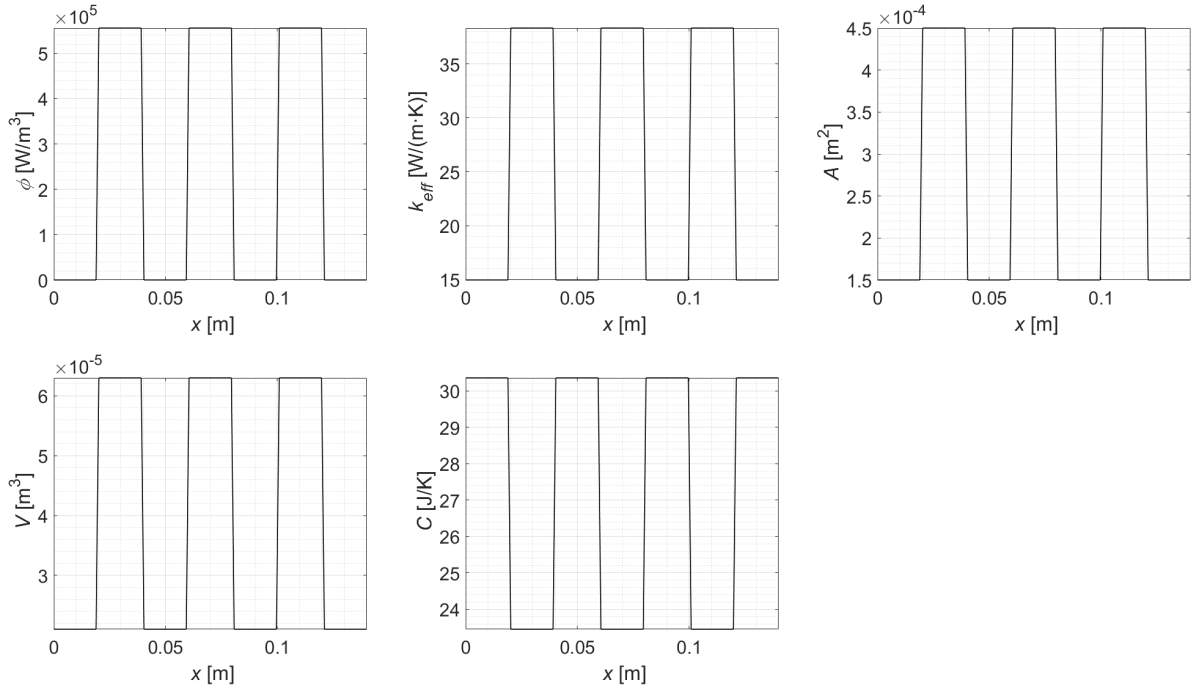
**Figura 8:** Perfil de temperaturas en régimen estacionario asumiendo disipación uniforme y linealizando las pérdidas radiativas.

En la Figura 8 se observa como, al haber otro modo de transmisión de calor, la temperatura máxima alcanzada,  $T_{max}$ , es significativamente menor que la obtenida en la Sección 3.1.1, siendo de 361.3 K, casi 54 K menor que en el otro caso estudiado de disipación uniforme.

#### 3.2.2. Modelo numérico unidimensional con disipación no uniforme

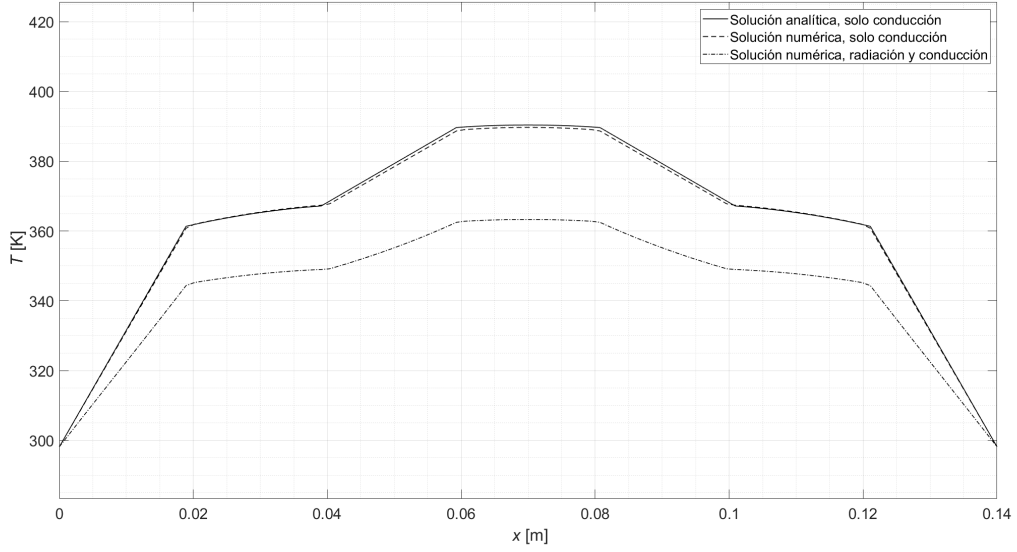
Con el fin de obtener un resultado para el que no sea necesario aplicar simplificaciones tales como la disipación uniforme o la linealización de las pérdidas radiativas, se plantea un modelo de diferencias finitas siguiendo la metodología descrita en la Sección 2.2.2.

En primer lugar se muestran los mapas unidimensionales de las propiedades de la tarjeta electrónica en la Figura 9. Estos mapas representan las discontinuidades de la conductividad efectiva, la capacidad térmica, el área, el volumen y la disipación volumétrica en forma vectorial. En la Figura 9 se aprecian claramente los distintos segmentos en los que se divide la PCB.



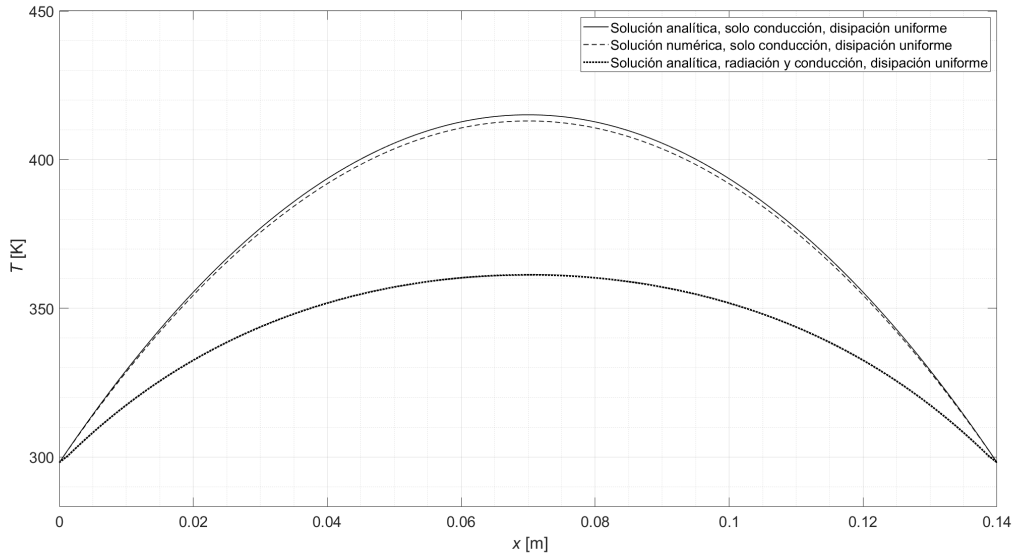
**Figura 9:** De izquierda a derecha y de arriba a abajo: mapa de disipación volumétrica,  $\phi$  [W/m<sup>3</sup>], de conductividad térmica longitudinal,  $k_{eff}$  [W/(m·K)], de área transversal,  $A$  [m<sup>2</sup>], de volumen,  $V$  [m<sup>3</sup>], y de capacidad térmica,  $C$  [J/K].

Haciendo uso de estos vectores se pretende resolver el problema térmico unidimensional primeramente sin considerar las pérdidas radiativas, con el fin de validar el modelo numérico antes de obtener resultados nuevos. Los resultados se comparan con los obtenidos en la Sección 3.1.2. En la Figura 10 se muestra el perfil de temperaturas en régimen estacionario asumiendo disipación no uniforme para la resolución numérica y analítica del problema planteado en la Sección 2.1 y 2.2. Se puede observar que los resultados que no incluyen pérdidas radiativas, para la resolución analítica y numérica son muy similares.



**Figura 10:** Perfil de temperaturas en régimen estacionario asumiendo disipación no uniforme para la resolución numérica y analítica del problema planteado en la Sección 2.1 y 2.2.

En la Figura 11 se muestran en cambio, los resultados obtenidos con el método analítico y numérico para el problema que se plantea en la Sección 2.1.1, también se muestran los resultados de la Sección 3.2.1, es decir el modelo analítico con las pérdidas radiativas linealizadas para comparar los dos modelos de disipación uniforme. Cabe destacar que, de nuevo, el método numérico se presenta muy similar al analítico.



**Figura 11:** Perfil de temperaturas en régimen estacionario asumiendo disipación uniforme para la resolución numérica y analítica del problema planteado en la Sección 2.1 y 2.2.

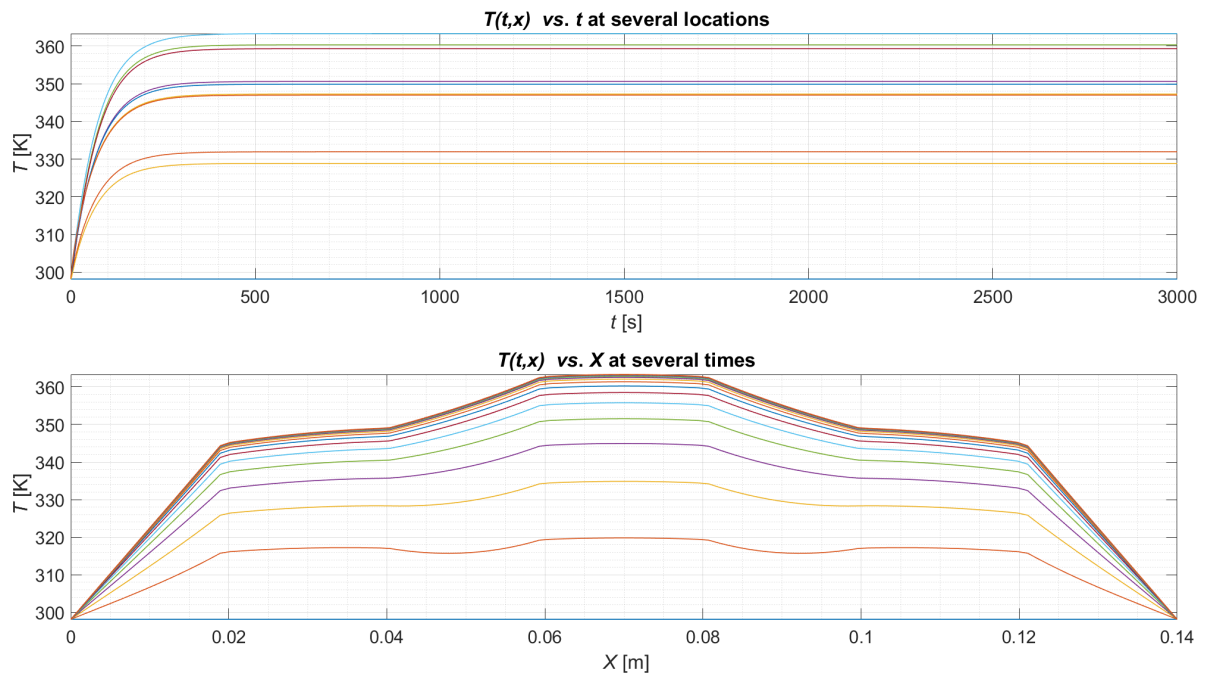
La Tabla 4 recoge las diferencias obtenidas entre el método analítico y numérico para los modelos que no consideran las pérdidas radiativas. Al contar el modelo numérico con un error inferior al 1 % en todos los casos, se puede considerar que el modelo numérico desarrollado es válido, por lo que se pasa a determinar el resultado considerando también la transmisión de calor por radiación.



**Tabla 4:** Comparativa entre los resultados obtenidos con el método analítico y numérico para los modelos que no consideran las pérdidas radiativas

Modelo de Disipación	Temperatura [K]		Error (%)
	Resolución Analítica	Resolución Numérica	
Uniforme	415.1	413.0	0.5060
No-uniforme	390.4	389.7	0.1790

Los resultados obtenidos con el modelo térmico unidimensional completo se muestran en la Figura 12. En la parte de arriba de la imagen se muestra la temperatura de la tarjeta electrónica en distintos puntos respecto al tiempo, por lo que se observa claramente la transición de régimen transitorio a estacionario. Abajo se muestra el perfil de temperaturas  $T(x, t)$  del modelo térmico unidimensional, respecto a la distancia del eje  $x$ , a distintos puntos temporales.



**Figura 12:** Arriba se muestra la temperatura de la tarjeta electrónica en distintos puntos respecto al tiempo, se observa el cambio de régimen transitorio a estacionario. Abajo se muestra el perfil de temperaturas del modelo térmico unidimensional, respecto a la distancia del eje  $x$ , a distintos puntos temporales.

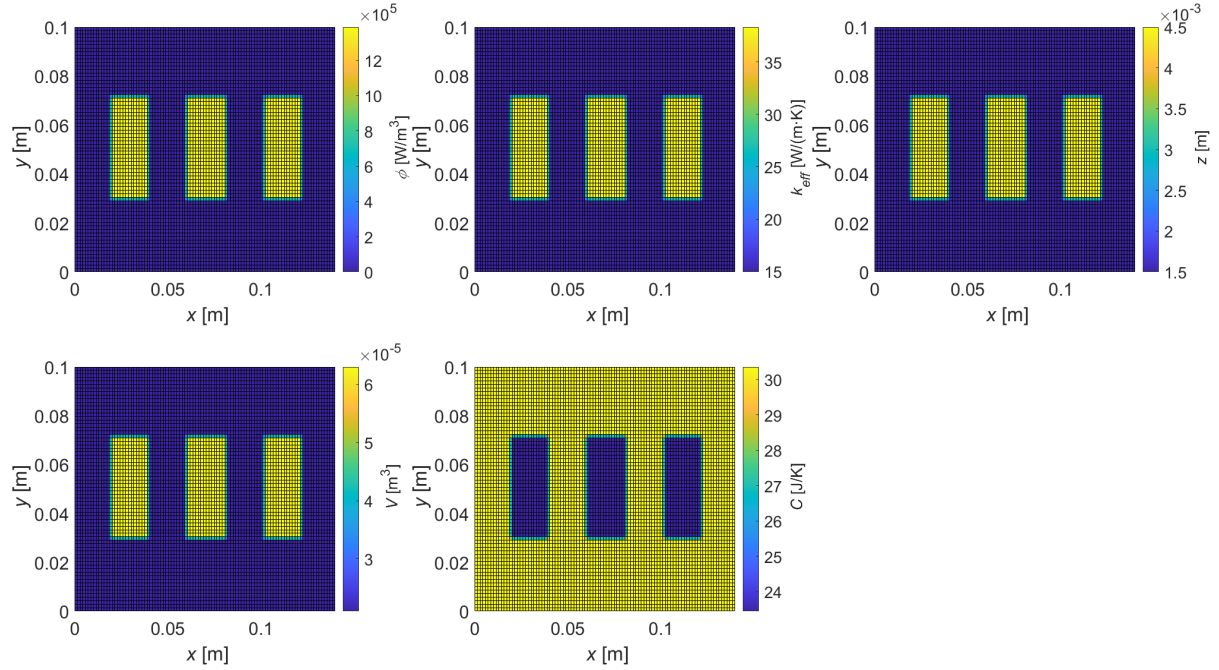
La temperatura máxima alcanzada con este modelo es de 363.3 K, muy similar a la obtenida con el resultado analítico linealizando las pérdidas radiativas en la Sección 3.2.1.

### 3.3. Modelo térmico bidimensional

Se presentan en este apartado los resultados obtenidos para el modelo numérico del problema térmico bidimensional, para el que se ha considerado la geometría mostrada en la Sección 1 y se ha seguido la metodología descrita en la Sección 2.3.

En primer lugar, en la Figura 13 se muestran los mapas bidimensionales de disipación volumétrica,  $\phi(x, y)$ , de conductividad térmica longitudinal,  $k_{eff}(x, y)$ , de espesor,  $z(x, y)$ , de volumen,  $V(x, y)$ , y de capacidad térmica,

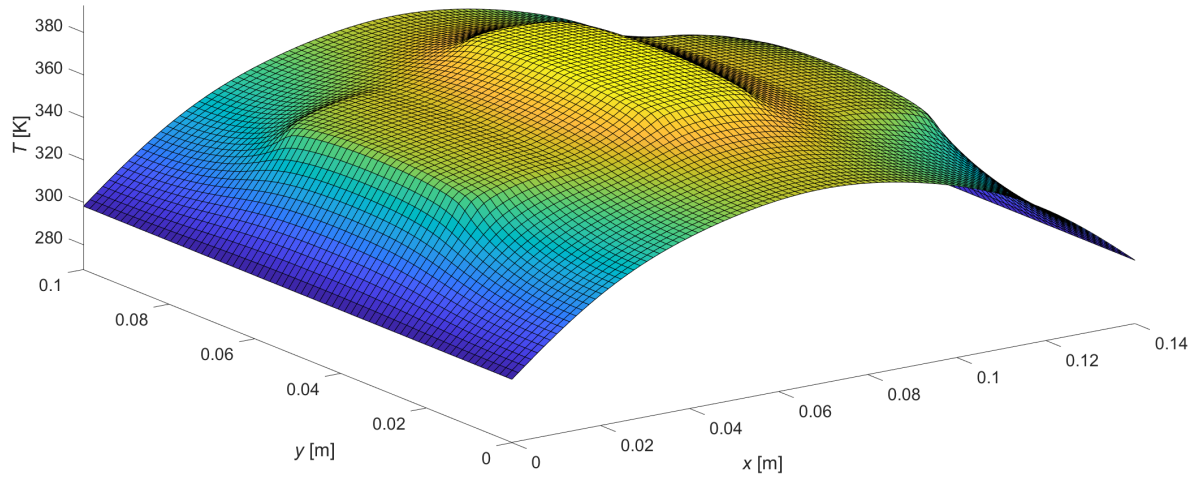
$C(x, y)$ . De esta forma en la Figura 13 se aprecian claramente los distintos segmentos en los que se divide la PCB, así como las zonas donde ha sido necesario implementar una interpolación para tener en cuenta que los nodos de la malla no caen exactamente donde se encuentran las discontinuidades.



**Figura 13:** De izquierda a derecha y de arriba a abajo: mapas de disipación volumétrica,  $\phi(x, y)$  [W/m<sup>3</sup>], de conductividad térmica longitudinal,  $k_{eff}(x, y)$  [W/(m·K)], de espesor,  $z(x, y)$  [m], de volumen,  $V(x, y)$  [m<sup>3</sup>], y de capacidad térmica,  $C(x, y)$  [J/K].

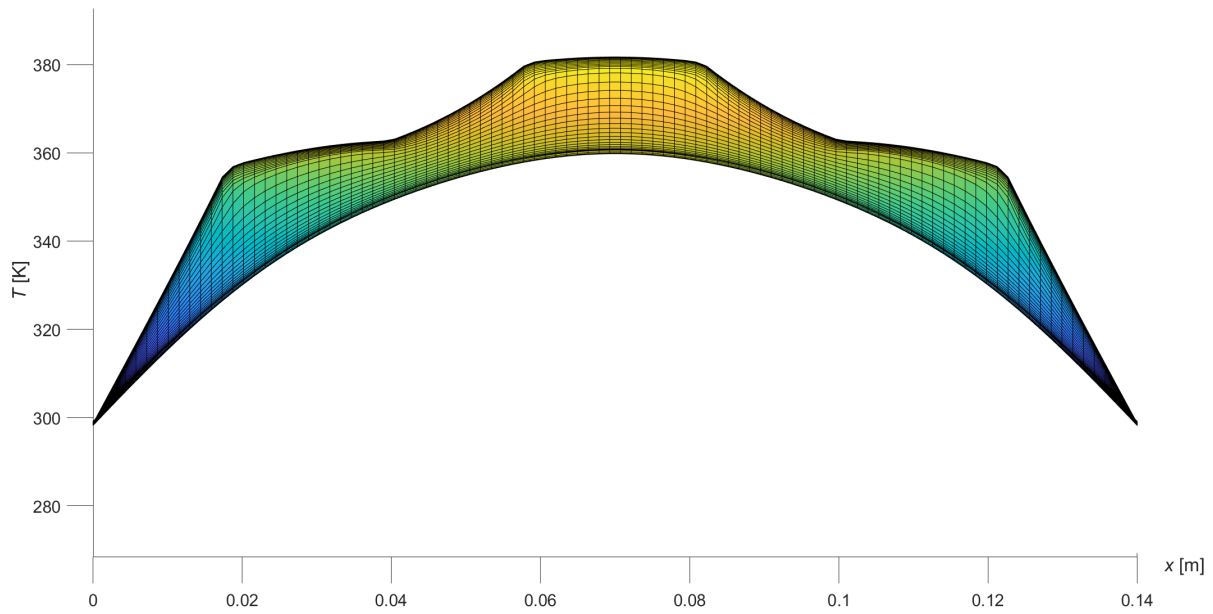
Haciendo uso de estos mapas, se pretende resolver el problema térmico bidimensional, con el fin de obtener un mapa de temperaturas sobre la tarjeta electrónica de la forma  $T(x, y)$  en el régimen estacionario, así como mostrar la evolución de la temperatura en el régimen transitorio.

En la Figura 14 se muestra el mapa de temperaturas  $T(x, y)$  en el régimen estacionario. Se pueden observar las zonas donde se presentan discontinuidades, siendo los segmentos de la malla donde se encuentran los IC claramente reconocibles, encontrándose el punto de  $T_{max}$  en el centro de la tarjeta electrónica. La temperatura máxima alcanzada con el modelo bidimensional aquí descrito es de  $T_{max}(x, y, t) = 381,3$  K



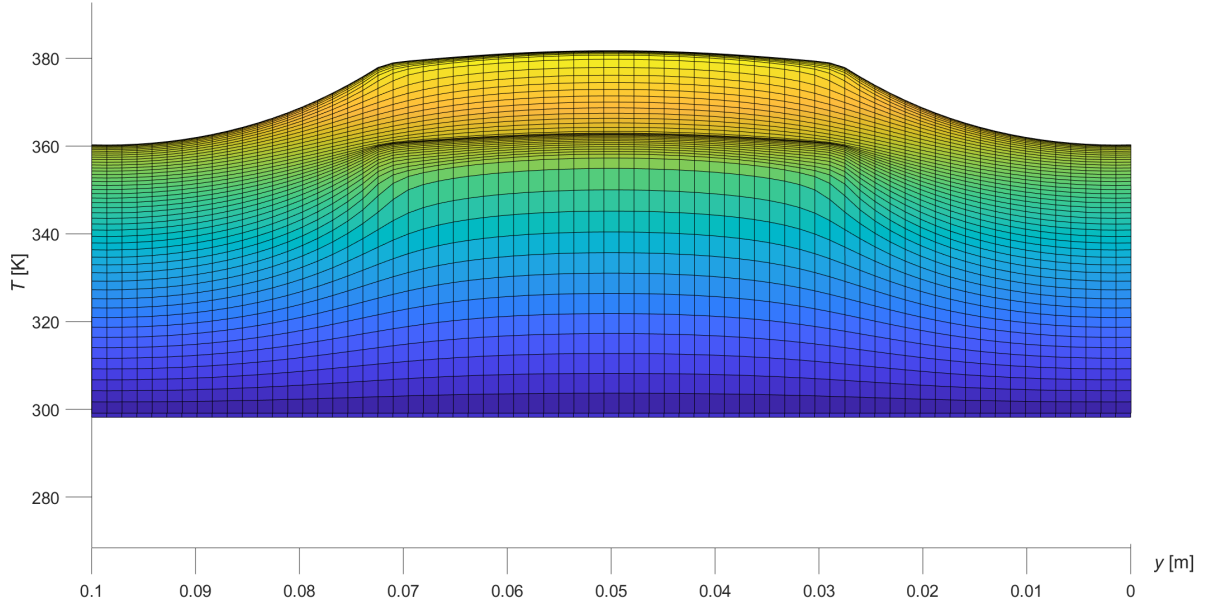
**Figura 14:** Mapa de temperaturas  $T(x, y)$  en el régimen estacionario.

En la Figura 15, se muestra el mapa de temperaturas  $T(x, y)$  en el régimen estacionario, visto en los ejes  $T$ - $x$ . Este perfil es ya reconocible, al ser similar al que se ha obtenido en apartados anteriores al considerar la disipación como no uniforme. También se observan claramente las condiciones de contorno en los bordes.



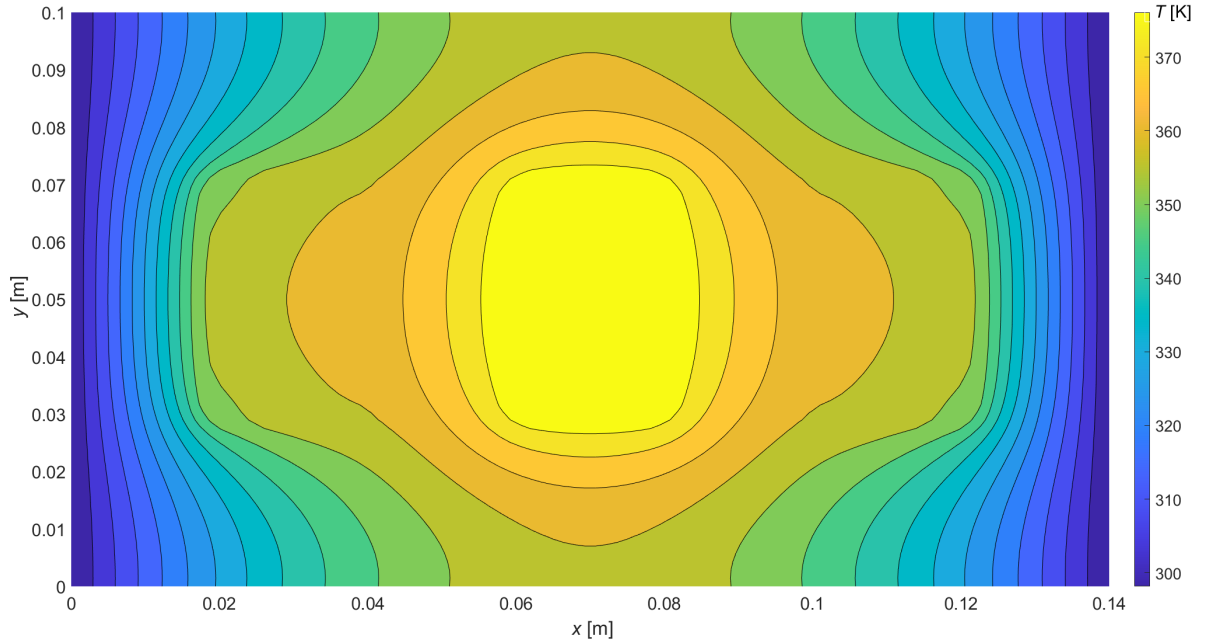
**Figura 15:** Mapa de temperaturas  $T(x, y)$  en el régimen estacionario. Vista frontal.

En la Figura 16 se puede observar el mapa de temperaturas  $T(x, y)$  en el régimen estacionario, visto en los ejes  $T$ - $y$ . Se puede reconocer claramente la condición adiabática impuesta en los bordes que se encuentran térmicamente aislados. En la Figura 14 se observa como en estos bordes el perfil de temperaturas forma una parábola.



**Figura 16:** Mapa de temperaturas  $T(x, y)$  en el régimen estacionario. Vista lateral.

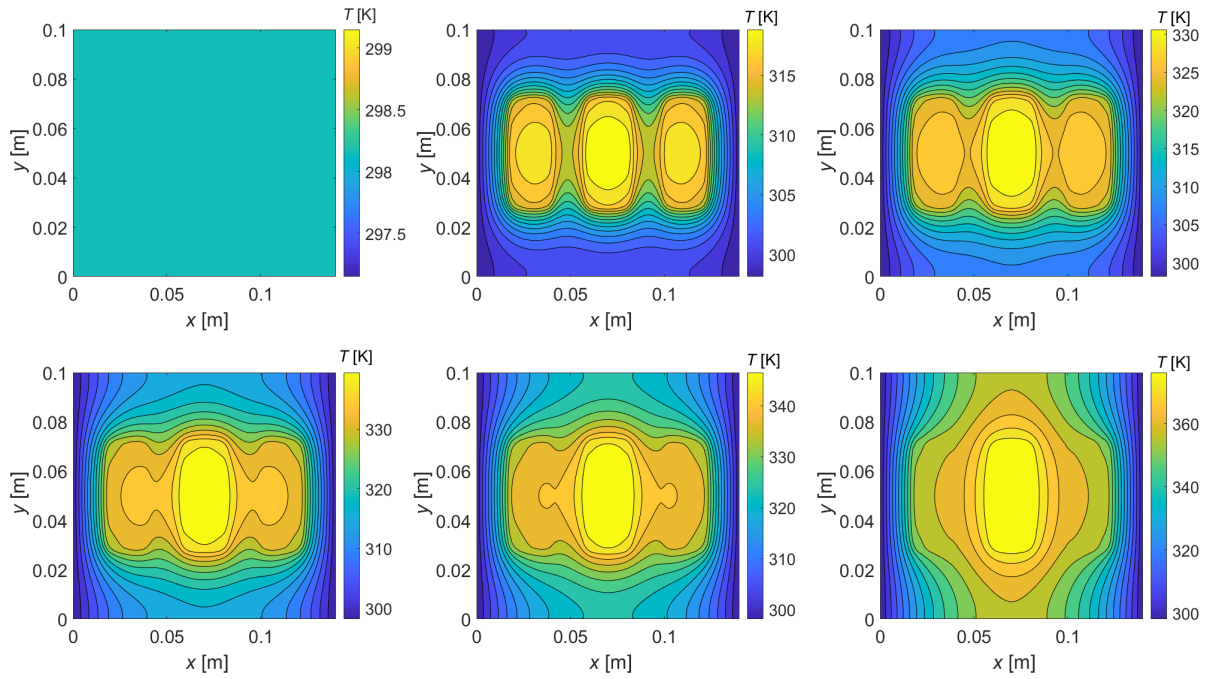
En la Figura 17 se representa la distribución de temperaturas en el régimen estacionario utilizando un mapa de contornos donde cada color indica un rango de temperaturas entre las que se encuentra esa parte de la superficie de la tarjeta electrónica. Se observa claramente la simetría que caracteriza a la geometría estudiada, así como que los bordes en contacto térmico perfecto con las paredes son las zonas a menor temperatura de toda la tarjeta, aumentando la temperatura a medida que se acercan las coordenadas al centro, donde presentan un máximo.



**Figura 17:** Contornos del mapa de temperaturas  $T(x, y)$  en el régimen estacionario.

Finalmente, en la Figura 18 se muestra la evolución de la temperatura  $T(x, y, t)$  en seis puntos temporales, pasando del régimen transitorio hasta el estacionario. También se ha producido una animación de este proceso, que puede

consultarse en esta referencia [3].



**Figura 18:** Mapa de temperaturas  $T(x, y, t)$  en el régimen transitorio y estacionario. De izquierda a derecha y de arriba a abajo: instantes de tiempo distintos para el mapa de temperaturas, desde el momento inicial, pasando por el régimen transitorio hasta llegar en la última imagen al régimen estacionario.

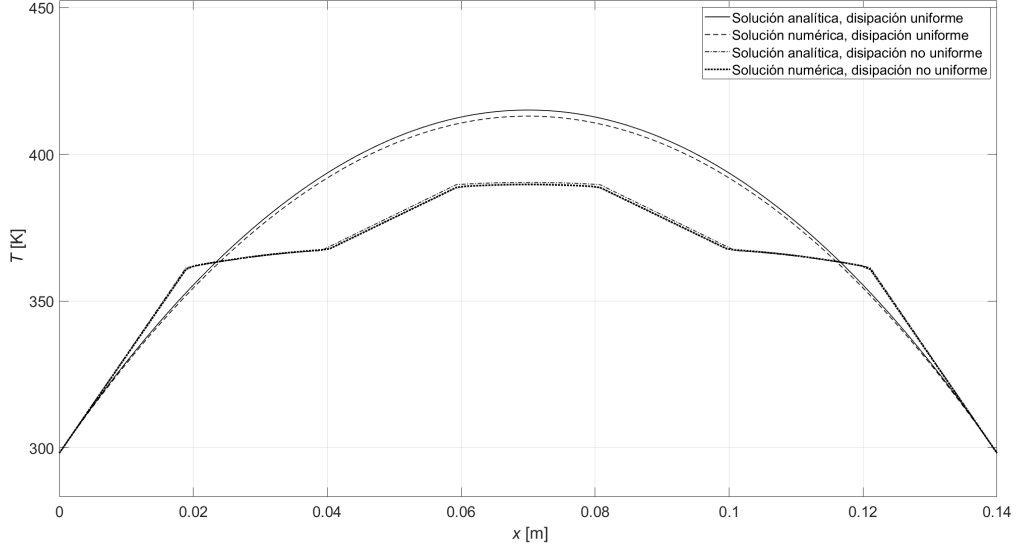
### 3.4. Observaciones de los resultados

Una vez presentados los datos obtenidos por cada modelo, se pretende analizar las diferencias entre los modelos y los métodos empleados, así como comentar brevemente el efecto que tiene la densidad de la malla en el resultado obtenido para el modelo numérico bidimensional de diferencias finitas.

#### 3.4.1. Resumen de los resultados

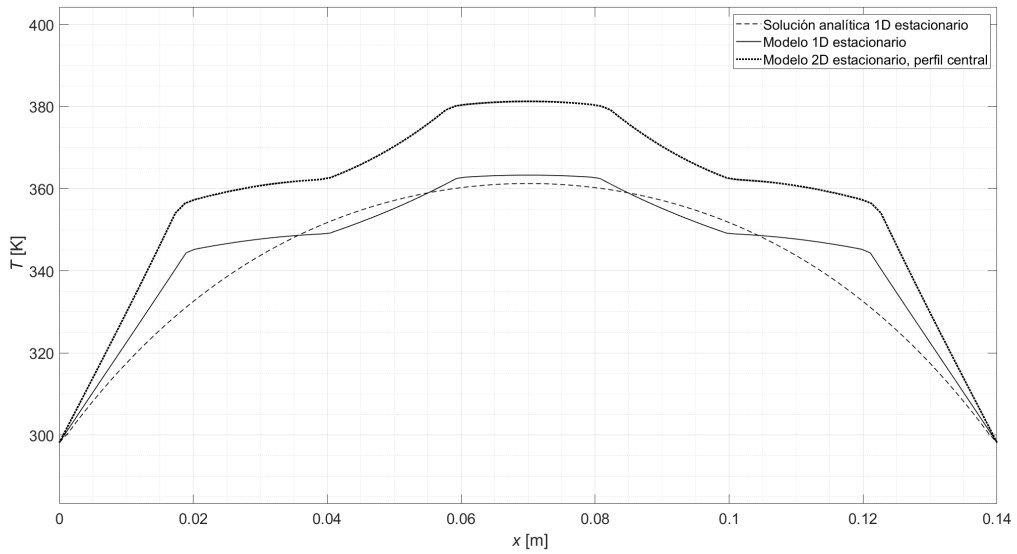
En este apartado se pretende comparar los perfiles de temperaturas y las temperaturas máximas que se consiguen con cada modelo, así como las diferencias que presentan las resoluciones de manera numérica y analítica.

Respecto a los modelos de solo conducción (Sección 3.1), en la Figura 19, se muestran los perfiles de temperaturas en régimen estacionario para los casos de disipación uniforme y no uniforme, así como para la resolución numérica y analítica del problema. Se puede observar como las soluciones analíticas y numéricas son prácticamente idénticas, siendo el resultado analítico ligeramente mayor al numérico. Se puede concluir que ambos métodos resuelven el problema de manera eficaz. Aunque implementar el método numérico resulta más laborioso, una vez planteado es relativamente sencillo incorporar otros fenómenos al modelo como es la transmisión de calor por convección o radiación.



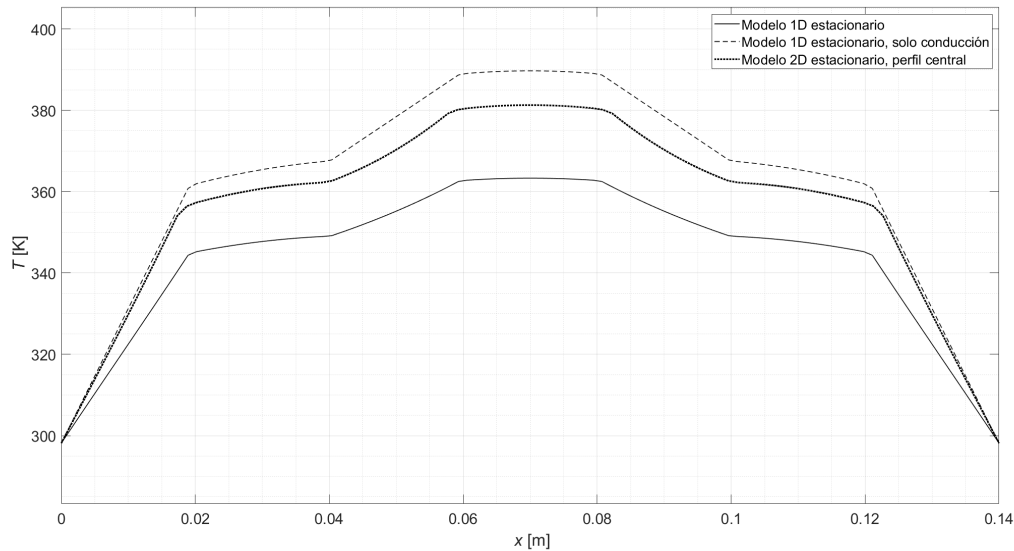
**Figura 19:** Perfiles de temperaturas en régimen estacionario para casos de disipación uniforme y no uniforme, así como para la resolución numérica y analítica del problema planteado en la Sección 2.1.

Respecto a los resultados obtenidos para los modelos completos que incluyen las pérdidas radiativas (Sección 3.2 y 3.3), en la Figura 20, se exponen los perfiles de temperaturas  $T(x)$  en régimen estacionario para los casos de disipación uniforme y no uniforme, así como para la resolución numérica y analítica del problema. En el caso del modelo bidimensional, se muestra únicamente el perfil central de temperaturas. Nótese que en la Figura 20 se observa como el perfil de temperaturas del modelo bidimensional es significativamente mayor al del modelo unidimensional, siendo este último similar al resultado analítico obtenido en la Sección 3.2.1. Todas las curvas comparten el mismo punto de  $T_{\max}$  que se encuentra en el centro de la tarjeta, como se ha mencionado previamente. De estos datos se puede concluir que el modelo unidimensional es claramente conservativo, y si se utiliza en lugar de un modelo bidimensional, esta diferencia en la temperatura máxima obtenida debe ser tomada en consideración.



**Figura 20:** Perfiles de temperaturas en régimen estacionario para casos de disipación uniforme y no uniforme, así como para la resolución numérica y analítica del problema planteado en la Sección 2.2.

Comparando los modelos de disipación no uniforme, como se muestra en la Figura 21, se puede observar como el modelo unidimensional que solo considera la conducción produce, como es de esperar, el perfil de temperaturas mayor, encontrándose el modelo bidimensional completo entre este caso y el del modelo unidimensional que si que considera las pérdidas radiativas. Por lo tanto, el método descrito en la Sección 2.1.2, puede ser utilizado como una primera aproximación.



**Figura 21:** Perfiles de temperaturas en régimen estacionario asumiendo disipación no uniforme, para la resolución numérica y analítica del problema planteado en las Secciones 2.1, 2.2 y 2.3.

Finalmente, en la Tabla 5 se recogen las temperaturas máximas obtenidos con cada modelo estudiado.

**Tabla 5:** Comparativa entre los resultados obtenidos con el método analítico y numérico para todos los modelos estudiados.

Modos de transmisión de calor	Modelo	Temperatura Máxima [K]	
		Resolución Analítica	Resolución Numérica
Conducción	1D, Disipación uniforme	415.1	413.0
	1D, Disipación no-uniforme	390.4	389.7
Conducción y Radiación	1D, Disipación uniforme	361.3	361.0
	1D, Disipación no-uniforme	N/A	363.3
	2D, Disipación no-uniforme	N/A	381.3

### 3.4.2. Efecto de la densidad de la malla en el resultado de las simulaciones numéricas

Respecto al efecto de la densidad de la malla en el resultado obtenido al implementar el modelo numérico, cabe destacar que, como se comenta en la Sección 2.2.2, una discretización espacial final requiere de una discretización temporal que requiere de una gran cantidad de esfuerzo computacional. Por ello es de interés mantener la malla espacial con relativamente pocos elementos, con el fin de acelerar las simulaciones. En la Tabla 6 se muestra como varía la temperatura máxima obtenida para el modelo térmico bidimensional según la densidad de la malla

escogida. Se puede observar que a partir de una densidad de la malla de 42 elementos en el eje  $x$  y 30 elementos en el eje  $y$  la solución empieza a converger. No se incluyen casos con un mayor número de subdivisiones ya que se supera la cantidad máxima de memoria computacional disponible.

**Tabla 6:** Comparativa entre los resultados obtenidos en el modelo térmico bidimensional estacionario para distintos niveles de discretización de los elementos espaciales.

Número de elementos espaciales ( $N_x, N_y$ )	Temperatura Máxima [K]
(14,10)	368.1
(42,30)	380.4
(70,50)	381.0
(98,70)	381.3

## 4. Conclusiones

En este estudio se han obtenido modelos unidimensionales con distintos niveles de complejidad, así como se ha desarrollado un modelo bidimensional del problema térmico. Además, se ha realizado una comparación entre los distintos modelos empleados. Para ilustrar la eficacia de los modelos considerados en el estudio, se recoge en la Tabla 5 una recopilación de todos los resultados obtenidos.

En conclusión, respecto a los modelos de solo conducción, se puede observar como las soluciones analíticas y numéricas son prácticamente idénticas, siendo el resultado analítico ligeramente mayor al numérico. Se puede concluir que ambos métodos resuelven el problema proporcionando una temperatura máxima mayor a la que proporciona el modelo bidimensional. Aún así, cabe destacar, que el modelo de disipación no uniforme sin incluir las pérdidas radiativas puede ser empleado como primera aproximación, ya que proporciona una temperatura máxima similar a la del modelo bidimensional.

Respecto al uso de métodos analíticos o numéricos, aunque implementar el método numérico resulta más laborioso, una vez planteado es relativamente sencillo incorporar otros fenómenos al modelo como es la transmisión de calor por convección o radiación. Por lo que su uso es recomendable si se desea hacer un estudio más allá de la primera aproximación. Aún así, el método analítico resulta especialmente útil a la hora de utilizarse para validar el modelo numérico implementado.

Respecto a los resultados obtenidos para los modelos completos que incluyen las pérdidas radiativas, los perfiles de temperaturas en el régimen estacionario para los casos de disipación uniforme y no uniforme, proporcionan resultados similares en el caso de los modelos unidimensionales estudiados. Por el contrario, el perfil de temperaturas obtenido con el modelo bidimensional es significativamente mayor al del modelo unidimensional. De estos datos se puede concluir que el modelo unidimensional es claramente conservativo.

Por último, comparando los modelos de disipación no uniforme, se puede concluir que el modelo unidimensional que solo considera la transmisión de calor por conducción produce, como es de esperar, el perfil de temperaturas mayor, situándose el modelo bidimensional completo entre este caso y el del modelo unidimensional que si que considera las pérdidas radiativas.



## Referencias

- [1] I. Martínez, HEAT CONDUCTION.  
URL [http://imartinez.etsiae.upm.es/\\$\sim\\$isidoro/bk3/c11/Heatconduction.pdf](http://imartinez.etsiae.upm.es/$\sim$isidoro/bk3/c11/Heatconduction.pdf)
- [2] I. Martínez, Conducción. Modelos Numéricos. 0 1–3.
- [3] Simulación del régimen transitorio y estacionario para el modelo numérico bidimensional de diferencias finitas.  
[link].  
URL <https://youtu.be/fppZ1L0mf0M>

## A. Anexo I

```
1 %%  
*****  
2 % CONDUCCIN DE CALOR, SIMULACIN NUMERICA  
3 %  
-----  
4 % Realizado por Diego Mataix Caballero.  
5 %  
6 % ADDITIONAL NOTES:  
7 %  
8 %-----  
9 close all; clear all; clc;  
10  
11 %%Datos  
12 %%% PCB (de FR4) %%%  
13 dx = 140e-3; % [m]  
14 dy = 100e-3; % [m]  
15 dz = 1.5e-3; % [m]  
16 dz_pcb = 1.4e-3; % [m]  
17 dz_cu = (dz - dz_pcb)/2; % [m]  
18 A = dx*dy; % [m^2]  
19 Vol = dx*dy*dz; % [m^3]  
20 rho_FR4 = 2100; % [kg/m^3]  
21 %capacidad termica:  
22 c_FR4 = 700; % [J / kg * K]  
23 c_Cu = 390; % [J / kg * K]  
24 %Recubrimiento de cobre del PCB por cada lado  
25 t_rec = 50e-6; % [m] %en una de las caras es continuo, y en la otra  
26 %ocupa solo el 10% de la superficie en la cual van  
27 %montados tres IC  
28 rho_Cu = 8960; % [kg/m^3]  
29 %los lados cortos de la PCB tienen contacto termico con paredes a 25C  
30 T_b = convtemp(25, 'C', 'K');  
31 %los otros dos bordes estan termicamente aislados.  
32 %para el FR4:  
33 k_plano = 0.5; % [W / ( m * K )]  
34 k_traves = k_plano / 2; % [W / ( m * K )]  
35  
36 %%% IC %%%  
37 dy_ic = 40e-3; % [m]
```

```

38 dx_ic = 20e-3; % [m]
39 dz_ic = 3e-3; % [m]
40 Vol_ic = dx_ic * dy_ic * dz_ic; % [m^3]
41 A_ic = (dz+dz_ic)*dy; % [m^2]
42 %dispendo:
43 Q_ic = 5; % [W]
44 Q_ic_tot = 3 * Q_ic /2; % [W] (symmetry)
45 %conductividad termica:
46 k_ic = 50; % [W / ( m * K )]
47 k_Cu = 395; % [W / ( m * K )]
48 %capacidad termica:
49 C_ic = 20; % [J / K]
50 %separaci n entre ICs
51 dist_ic = 20e-3; % [m]
52
53 %%%Otros datos %%%
54 %calor transmitido por radiacion:
55 emiss_comp = 0.7; %emisividad media por el lado de los componentes
56 emiss_cara = 0.5; %emisividad media por el lado de la cara opuesta
57 %caja electronica que se puede considerar negra
58 T_box = convtemp(45, 'C', 'K'); %T caja electronica (para apartado c)
59
60 %%%Constantes
61
62 h = 6.6256e-34; % [J * s] %Plank's constant
63 c_0 = 2.9979e8; % [m / s] %velocidad de la luz
64 stefan_boltz = 5.67e-8; % [W / ( m^2 * K^4 )] %Stefan-Boltzmann constant
65 T_sun = 5800; % [K]
66 T_cbr = 2.7; % [K]

```

## B. Anexo II

```
1 %%  
*****  
2 % CONDUCCIN DE CALOR, SIMULACIN NUMRICA  
3 %  
-----  
4 % Realizado por Diego Mataix Caballero.  
5 %  
6 %ADDITIONAL NOTES:  
7 %PCB de FR-4 =: 140 x 100 x 1.5 (dx * dy * dz)  
8 %Recubrimiento de Cu de 50e-6 m  
9 %      - en cara 1 : continuo  
10 %      - en cara 2 : 90% FR-4, 10% Cu  
11 %3 IC, cada uno disipa 5W, con k_ic = 5 [W/(mK)], con c_ic = 20 [J/K]  
12 %      - distribuidos uniformemente en la PCB, 20 mm de separacion  
13 %PCB tiene contact termico perfecto con paredes permanentemente a 25C, los  
14 %otros dos bordes est n trmicamente aislados.  
15 %-----  
16 close all; clear all; clc;  
17 %-----  
18 %%Datos  
19 Conduccion_NumSim_DATOS  
20 %-----  
21 %%Choose exercise to run  
22 %%%%%%%%%%%%%%%%%%%%%%%%%%%%%%%%%%%%%%%%%%%%%%%%%%%%%%%%%%%%%%%%%%%%%%%%%  
23 choose = 'e'; % 'a', 'b', 'c', 'd' & 'e' %  
24 %%%%%%%%%%%%%%%%%%%%%%%%%%%%%%%%%%%%%%%%%%%%%%%%%%%%%%%%%%%%%%%%%%%%%%%%%  
25 %-----  
26 %%Define global parameters  
27 %%Define coefficients and some parameters %%  
28 phi = (3 * Q_ic) / Vol; % Volumetric dissipation [W/m  
    ^3]  
29 l = [t_rec dz_pcb t_rec]; % Dimension Vector [m]  
30 k_vect = [k_Cu k_plano (0.1*k_Cu+0.9*k_plano)]; % Conductivity Vector [W/(m K  
    )] tercera capa es donde van los IC, cubierta solo al 10% de cobre  
31 k_eff = effective(k_vect, l); % Effective Conductivity [W/(  
    m K)]  
32 L = dx/2; % [m]  
33 A = dy * dz; % [m^2]  
34 c_eff = (c_Cu*t_rec + c_FR4*dz_pcb + (0.1*c_Cu*t_rec)) / (t_rec + dz_pcb + 0.1*
```

```

        t_rec); %Thermal Capacity [J / kg.K]
35 C_eff = c_eff * rho_FR4 * dx*dz*dy;
                                                    %Thermal Capacity [J / K]
36 %%%Define the parameters for the sections containing the IC %%%
37 l_ic = [t_rec dz_pcb t_rec dz_ic]; %Dimension Vector [m]
38 k_vect_ic = [k_Cu k_plano (0.1*k_Cu+0.9*k_plano) k_ic]; %Conductivity Vector
[W/(m K)] tercera capa es donde van los IC, cubierta solo al 10% de cobre
39 k_eff_ic = effective(k_vect_ic, l_ic); %Effective
Conductivity [W/(m K)]
40 C_eff_ic = (C_eff *dz + C_ic*dz_ic)/ (dz + dz_ic); %Thermal Capacity [J
/ K]
41 %%%Define the emissivity %%%
42 emiss_vect = [emiss_cara emiss_comp];
43 p_vect = [dx+dz dx+dz];
44 emiss = effective(emiss_vect, p_vect);
45 %%%Mesh %%%
46 m = 8e0; %Spatial Subdivisions
47 M = 14*m; %Total n of spatial
subdivisions
48 x = linspace(0, dx, M); %Spatial Coordinates
[m]
49 N = 6e5; %# of time steps
50 tsim = 3000; %Total simulation
time [s]
51 %-----
52 switch(choose)
53 %-----
54 case 'a'
55 %%%Apartado A
56 %Considerando que la tarjeta s lo evacua calor por los bordes,
57 %determinar la temperatura m xima que se alcanzar a si toda la
disipaci n
58 %estuviese uniformemente repartida en la PCB y los IC no influyeran.
59 %
%%%%%%%%%%%%%%%%%%%%%%%%%%%%%%%%%%%%%%%%%%%%%%%%%%%%%%%%%%%%%%%%%%%%%%%%%%
60 method = 2; %1: Only max Temp 2: Show all Temp profile
61 %
%%%%%%%%%%%%%%%%%%%%%%%%%%%%%%%%%%%%%%%%%%%%%%%%%%%%%%%%%%%%%%%%%%%%%%%%%%
62 switch(method)
63 case 1

```

```

64         DT = 1/8 * ( phi * dx^2 / k_eff );           % Delta T [K]
65         T_0 = T_b + DT                                % Max T [K]
66         T_0_C = convtemp(T_0, 'K', 'C')               % Max T [C]
67     case 2
68         b = b_coef(Q_ic_tot, k_eff, dz*dy);           % [K*m]
69         for i = 1:M
70             T(i) = temp_parb(T_b, b, (x(i)), phi, k_eff); % [K]
71         end
72         T_0 = max(T)                                    % Max T [K]
73         T_0_C = convtemp(T_0, 'K', 'C')               % Max T [Celsius]
74
75         figure()
76         myplot(x,T)
77         hold on
78         axis([0 dx T_b*0.9 max(T)*1.1])
79         ylabel('\it T [K]')
80         xlabel('\it x [m]');
81         xline(L, '-.')
82         yline(T_b, '—')
83         yline(T_0, '—')
84         hold off
85     end
86     %
87     -----
88     %%Apartado B
89     case 'b'
90         %Considerando que la tarjeta s lo evacua calor por los bordes,
91         %determinar
92         %la temperatura m xima que se alcanzar a con un modelo unidimensional
93         %en el
94         %que los IC llegaran hasta los bordes aislados, en el l mite k I C ,
95         %y con la kIC dada.
96         %
97         %%%%%%%%%%%%%%%%%%%%%%%%%%%%%%%%%%%%%%%%%%%%%%%%%%%%%%%%%%%%%%%%%%%%%%%%%
98
99         method = 1;           % 1: Method @ k —> k_ic           2: Method @ k —>
100                                % inf
101         %
102         %%%%%%%%%%%%%%%%%%%%%%%%%%%%%%%%%%%%%%%%%%%%%%%%%%%%%%%%%%%%%%%%%%%%%%%%%
103
104         % L mites de cada tramo

```

```

96     for i = 1:6
97         lim(i) = 2*i*m; % [m]
98     end
99
100    %%%Define the heat for each type of section: 1: w/o IC, 2 w/ IC %%%
101    Q1 = Q_ic_tot; % [W]
102    Q2 = Q_ic_tot*(1/3); % [W]
103
104    %%%Coefficients for the first section %%%
105    a = T_b; % [K]
106    b = b_coef(Q_ic_tot, k_eff, dz*dy); % [K*m]
107
108    A_ic = (dz+dz_ic)*dy; % [m^2]
109    phi_ic = Q_ic / (0.02 * 0.1 * 0.0045); % Volumetric
110    dissipation [W/m^3]
111
112    %%%CALCULATIONS %%%
113    %%%SECTION 1: From the PCB border to the start of the 1st IC %%%
114    T = zeros(1, M);
115    for i = 1: lim(1)
116        T(i) = temp_lin(Q1, x(i), k_eff, A, a);
117    end
118    %%%SECTION 2: From the start of the 1st IC to the end of that IC %%%
119    switch(method)
120    case 1 %%%k —> k_ic %%%
121        a = T(lim(1)); % [K]
122        b = b_coef(Q1, k_eff_ic, A_ic); % [K*m]
123        for i = lim(1):lim(2)
124            T(i) = temp_parb(a, b, (x(i) - x(lim(1))), phi_ic, k_eff_ic);
125            % [K]
126        end
127        case 2 %%%k —> inf %%%
128            for i = lim(1)+1:lim(2)
129                T(i) = T(lim(1)); % [K]
130            end
131        end
132    %%%SECTION 3: From the end of the 1st IC to the start of the 2nd IC
133    for i = (lim(2)+1):lim(3)
134        T(i) = temp_lin(Q2, (x(i) - x(lim(2))), k_eff, A, T(lim(2)));
135        % [K]
136    end
137    %%%SECTION 4: From the start of the 2nd IC to the center of that IC

```

```

135     switch(method)
136     case 1 %%k —> k_ic
137         a = T(lim(3)); % [K]
138         b = b_coef(Q2, k_eff_ic, A_ic); % [K*m]
139         for i = (lim(3)+1): (M/2)
140             T(i) = temp-parb(a, b, (x(i) - x(lim(3))), phi_ic, k_eff_ic);
141             % [K]
142         end
143     case 2 %%k —> inf
144         for i = (lim(3)+1): (M/2)
145             T(i) = T(lim(3)); % [K]
146         end
147     end
148     %%TAKE ADVANTAGE OF SYMMETRY %%%
149     T((M/2)+1:M) = T(M/2:-1:1); % Mirror curve
150
151     T_0 = max(T) %Max T [K]
152     T_0-C = convtemp(T_0, 'K', 'C') %Max T [Celsius]
153
154     %%PLOT TEMPERATURE PROFILE %%%
155     figure()
156     hold on
157     myplot(x,T)
158     axis([0 dx T_b*0.9 max(T)*1.1])
159     ylabel('\it T [K]')
160     xlabel('\it x [m]');
161     xline(L, '-.')
162     yline(T_b, '—')
163     yline(T_0, '—')
164     hold off
165     %

```

-----

---

```

166     %%Apartado C
167     %Considerando que se transmite calor por radiaci n , con una emisividad
168     media de 0,7
169     %por el lado de los componentes , y de 0,5 por la cara opuesta , con una
170     caja electr nica
171     %que se puede suponer negra y a 45 C , determinar la temperatura m xima
172     linealizando las
173     %p rdidas radiativas y con disipaci n uniforme.

```



```

171     case 'c'
172
173     p = (2*dy);           % Perimeter [m]
174     A = dy * dz;         % Area [m^2]
175     T_avg = 375;         % Average Temperature [K] %from 'a' —> 375K; from 'b
                          ' —> 363K
176
177     eta = 4*p * stefan_boltz * emiss * T_avg^3;           % Auxiliary function
                          for simplifying the ODE
178     lambda = sqrt( eta / ( (k_eff * A) ) )                 %
                          Eigenvalues of the ODE
179     c2 = (T_b - T_box - ( (phi * A) / eta ) / (1+exp(-lambda *dx)) ) %
                          Coef. of the ODE
180     c1 = c2*exp(-lambda*dx)                                %
                          Coef. of the ODE
181
182     % Temperature profile , the expression is found by solving the ODE
183     %and applying the BC.
184     for i = 1:M
185         T(i) = c1* exp(lambda * x(i) ) + c2*exp(-lambda * x(i) ) + T_box + ( (
                          phi*A)/eta); % [K]
186     end
187
188     T_0 = max(T)                                             %Max T [K]
189     T_0_C = convtemp(T_0, 'K', 'C')                         %Max T [Celsius]
190
191     %%PLOT TEMPERATURE PROFILE %%%
192     figure()
193     hold on
194     myplot(x,T)
195     axis([0 dx T_b*0.9 max(T)*1.1])
196     ylabel(' \it T [K] ')
197     xlabel(' \it x [m] ');
198     xline(L, '-.')
199     yline(T_b, '—')
200     yline(T_0, '—')
201     hold off
202
203     %
                          -----
204     %%Apartado D

```

```

205         % Resolver el caso anterior pero sin linealizar y con la disipaci n no
           uniforme.
206     case 'd'
207         %
           %%%%%%%%%%%%%%%%%%%%%%%%%%%%%%%%%%%%%%%%%%%%%%%%%%%%%%%%%%%%%%%%%%%%%%%%%
208         validate = 1;          % 1: Uniform dissipation      % 2: Non-uniform
           dissipation
209         radiation = 1;         % 1: Include radiation        % 2: Do not include
           radiation
210         %
           %%%%%%%%%%%%%%%%%%%%%%%%%%%%%%%%%%%%%%%%%%%%%%%%%%%%%%%%%%%%%%%%%%%%%%%%%
211         h=0;                  % Convective coefficient [W/(m^2 K )] (NO CONVECTION)
212         p = (2*dy);           % Radiative perimeter [m]
213         if radiation == 2
214             emiss = 0;
215         end
216         %
217         %%%Limits for each segment %%%
218         for i = 1:6
219             lim(i) = 2*i*m;
220         end
221
222         %%%Definir los vectores para representar las discontinuidades %%%
223         % Initialising
224         phi = ones(1,M);
225         k = ones(1,M);
226         A_vect = ones(1,M);
227         V = ones(1,M);
228         C = ones(1,M);
229         switch(validate)
230             case 1
231                 for i = 1:M
232                     phi(i) = (3 * Q_ic) / Vol ;
233                     k(i) = k_eff;
234                     A_vect(i)= A;
235                     V(i) = dx * dz * dy;
236                     C(i) = C_eff;
237                 end
238
239             case 2

```

```

240      %%NO IC %%%
241      for i = 1:lim(1)
242          phi(i) = 0;
243          k(i) = k_eff;
244          A_vect(i) = A; % [m^2]
245          V(i) = dx * dz * dy; % [m^3]
246          C(i) = C_eff; % [J / K]
247      end
248      %%IC %%%
249      for i = lim(1)+1:lim(2)
250          phi(i) = Q_ic / (0.02 * 0.1 * 0.0045);
251          k(i) = k_eff_ic;
252          A_vect(i) = (dz+dz_ic)*dy; % [m^2]
253          V(i) = dx * (dz+dz_ic) * dy; % [m^3]
254          C(i) = C_eff_ic; % [J / K]
255      end
256      %%NO IC %%%
257      for i = (lim(2)+1):lim(3)
258          phi(i) = 0;
259          k(i) = k_eff;
260          A_vect(i) = A; % [m^2]
261          V(i) = dx * dz * dy; % [m^3]
262          C(i) = C_eff; % [J / K]
263      end
264      %%IC %%%
265      for i = (lim(3)+1):(M/2)
266          phi(i) = Q_ic / (0.02 * 0.1 * 0.0045);
267          k(i) = k_eff_ic;
268          A_vect(i) = (dz+dz_ic)*dy; % [m^2]
269          V(i) = dx * (dz+dz_ic) * dy; % [m^3]
270          C(i) = C_eff_ic; % [J / K]
271      end
272      %%TAKE ADVANTAGE OF SYMMETRY
273      phi((M/2)+1:M) = phi(M/2:-1:1); % Mirror vector
274      phi
275      k((M/2)+1:M) = k(M/2:-1:1); % Mirror vector
276      k
277      A_vect((M/2)+1:M) = A_vect(M/2:-1:1); % Mirror vector
278      A_vect
279      V((M/2)+1:M) = V(M/2:-1:1); % Mirror vector
280      V
281      C((M/2)+1:M) = C(M/2:-1:1); % Mirror vector

```

# C

```

278     end
279     %%Initialising:           %N time %M space
280     Dx=dx/M;                 %Element width
281     X=linspace(0,dx,M);      %Node position list (equispaced)
282     Dt=tsim/N;               %Time step (you might fix it instead of tsim)
283     t=linspace(0,tsim,N)';   %Time vector
284     DtrcA = ones(1,M);
285     kALapla = ones(N,M);
286     phDT = ones(N,M);
287     T=T_b*ones(N,M);         %Temperature—matrix (times from 1 to n, and
                                positions from 1 to M+1)
288     %%%plot parameters for heat equation
289     subplot(2,3,1);myplot(X,phi); ylabel('\it \phi [W/{m^3}]'); xlabel('\it x [m]');
290     subplot(2,3,2);myplot(X,k); ylabel('\it k_{eff} [W/{(m K)}]'); xlabel('\it x [m]');
291     subplot(2,3,3);myplot(X,A_vect); ylabel('\it A [m^2]'); xlabel('\it x [m]');
292     subplot(2,3,4); myplot(X,V); ylabel('\it V [m^3]'); xlabel('\it x [m]');
293     subplot(2,3,5);myplot(X,C); ylabel('\it C [J/K]'); xlabel('\it x [m]');
294     ;
295     %%%Check for stability of the explicit finite difference method %%
296     for i = 1:M
297         Fo_vect(i)=k(i)/(C(i)/V(i))*Dt/(Dx*Dx);           %Fourier's number
298         Bi_vect(i)=h*p*Dx/(k(i)*A_vect(i)/Dx);             %Biot's number
299     end
300     Fo = max(Fo_vect);
301     Bi = max(Bi_vect);
302     disp(['Stability requires 1-Fo*(2+Bi)<0. It actually is =',num2str(1-Fo*(2+Bi))])
303     if 1-Fo*(2+Bi)<0 disp('This is unstable; increase number of time steps'),
304         end
305     %%%Temperature profile equation by means of finite elements methods %%
306     j=1; T(j,:)=T_b;           %Initial temperature profile T(x,t)=0 (assumed
                                uniform)
307     it=M; T(:,it)=T_b;
308     for j=2:N                   %Time advance
309         i=1; T(j,i)=T_b;       %Left border (base) maintained at T_b
310         for i=2:M-1            %Generic spatial nodes

```

```

310         DtrcA(i) = (Dt/((C(i)/V(i))*A_vect(i)));
311         kALapla(j,i) = (( (k(i+1)+k(i))/2) * ((A_vect(i)+A_vect(i+1))/2)
            *...
312         (T(j-1,i+1)-T(j-1,i))- ((k(i)+k(i-1))/2) * ((A_vect(i)+A_vect(i-1))/2) *...
            (T(j-1,i)-T(j-1,i-1)) )/Dx^2);
313         phDT(j,i) = (p*(emiss*stefan_boltz*(T(j-1,i)^4 - T_box^4)));
314
315
316         T(j,i)=T(j-1,i)+(DtrcA(i))*...
317         ((kALapla(j,i))+(phi(i)*A_vect(i)) - (phDT(j,i)) );
318     end
319     %%Boundary condition in node 0:
320     T(j,1)=T_b;          %f Troot is fixed
321     %%Boundary condition in node N:
322     T(j,M)=T_b;          %f Troot is fixed
323 end
324 %%PLOT TEMPERATURE PROFILE %%%
325 T_0 = max(T(N,:))          %Max T [K]
326 T_0-C = convtemp(T_0, 'K', 'C')          %Max T [Celsius]
327 %Plot transitory
328 subplot(2,1,1);myplot(t,T(:,1:M/10:M));xlabel('\it t [s]'),ylabel('\it
    T [K]');
329 title('\it T(t,x) \it vs.\it t at several locations')
330 subplot(2,1,2);myplot(X,T(1:N/100:N,:));xlabel('\it X [m]'),ylabel('\it
    T [K]');
331 title('\it T(t,x) \it vs.\it X at several times')
332 %Plot stationary
333 figure()                  %Plot 1D Stationary Temp
    profile
334 hold on
335 myplot( X, T(N,:) )
336 axis([0 dx T_b*0.9 max(T_0)*1.1])
337 ylabel('\it T [K]')
338 xlabel('\it x [m]');
339 xline(L, '-.')
340 yline(T_b, '—')
341 yline(T_0, '—')
342 hold off
343 %
    -----
344 %%Apartado E

```

```

345     % Resolver el problema térmico bidimensional estacionario y comparar el
        perfil
346     % central de temperaturas con el del caso anterior.
347 case 'e'
348     phi = (Q_ic) / ((dz+dz_ic)*dy_ic*dx_ic); %
        Volumetric dissipation [W/m^3]
349     %%%Define 2D mesh %%%
350     m = 7e0; % Spatial Subdivisions
        % 7e0 works
351     Mx = 14*m; % Total n of spatial subdivisions (x-direction)
352     my = 7e0; % Spatial Subdivisions (y-direction)
        % 7e0 works
353     My = 10*my; % Total n of spatial subdivisions (y-direction)
354     N = 2.1e5; % # of time steps
        % 1.9e5 works
355     tsim = 1000; % Total simulation time [s]
        % 750 works
356     %%%Initialise %%%
357     Dx=dx/Mx; % Element width (x-direction)
358     Dy=dy/My; % Element width (y-direction)
359     X=linspace(0,dx,Mx); % Node position list (equispaced) (x-direction)
360     Y=linspace(0,dy,My); % Node position list (equispaced) (y-direction)
361     Dt=tsim/N; % Time step (you might fix it instead of tsim)
362     t=linspace(0,tsim,N)'; % Time vector
363     % Initial temperature profile T(x,t)=T_b (assumed uniform)
364     T = T_b*ones(Mx, My, N);


---


365     %%%Definir los vectores para representar las discontinuidades %%%
366     % Initialising
367     phi2d = ones(Mx,My);
368     k_effxy = ones(Mx,My);
369     z = ones(Mx,My);
370     V2d = ones(Mx,My);
371     C = ones(Mx,My);
372     %%%Limits for each segment %%%
373     for i = 1:6
374         limx(i) = 2*i*m;
375     end
376     for i = 1:10
377         limy(i) = 1*i*my;
378     end
379     %%%NO IC SEGMENTS %%%
380     for i = 1:(Mx/2)

```

```

381         for k = 1:limy(3)
382             phi2d(i,k) = 0;
383             k_effxy(i,k) = k_eff;
384             z(i,k) = dz;
385             V2d(i,k) = dx * dz * dy;
386             C(i,k) = C_eff;
387         end
388     end
389     for i = 1:limx(1)
390         for k = limy(3):(My/2)
391             phi2d(i,k) = 0;
392             k_effxy(i,k) = k_eff;
393             z(i,k) = dz;
394             V2d(i,k) = dx * dz * dy;
395             C(i,k) = C_eff;
396         end
397     end
398     for i = limx(2)+1:limx(3)
399         for k = limy(3):(My/2)
400             phi2d(i,k) = 0;
401             k_effxy(i,k) = k_eff;
402             z(i,k) = dz;
403             V2d(i,k) = dx * dz * dy;
404             C(i,k) = C_eff;
405         end
406     end
407     %% IC SEGMENTS %%%
408     for i = limx(1)+1:limx(2)
409         for k = limy(3)+1:(My/2)
410             phi2d(i,k) = phi;
411             k_effxy(i,k) = k_eff_ic;
412             z(i,k) = dz+dz_ic;
413             V2d(i,k) = dx * (dz+dz_ic) * dy;
414             C(i,k) = C_eff_ic;
415         end
416     end
417     for i = limx(3)+1:(Mx/2)
418         for k = limy(3)+1:(My/2)
419             phi2d(i,k) = phi;
420             k_effxy(i,k) = k_eff_ic;
421             z(i,k) = dz+dz_ic;
422             V2d(i,k) = dx * (dz+dz_ic) * dy;

```

```

423         C(i,k) = C_eff_ic;
424     end
425 end
426 %%%INTERPOLATE %%%
427 for j = 1:3
428     for i =limx(j):limx(j)
429         for k = limy(3):(My/2)+1
430             phi2d(i,k) = (phi2d(i-1,k)+phi2d(i+1,k))/2;
431             k_effxy(i,k) = (k_effxy(i-1,k)+k_effxy(i+1,k))/2;
432             z(i,k) = (z(i-1,k)+z(i+1,k))/2;
433             V2d(i,k) = (V2d(i-1,k)+V2d(i+1,k))/2;
434             C(i,k) = (C(i-1,k)+C(i+1,k))/2;
435         end
436     end
437 end
438 for i =limx(1):limx(2)
439     for k = limy(3):limy(3)
440         phi2d(i,k) = (phi2d(i,k-1)+phi2d(i,k+1))/2;
441         k_effxy(i,k) = (k_effxy(i,k-1)+k_effxy(i,k+1))/2;
442         z(i,k) = (z(i,k-1)+z(i,k+1))/2;
443         V2d(i,k) = (V2d(i,k-1)+V2d(i,k+1))/2;
444         C(i,k) = (C(i,k-1)+C(i,k+1))/2;
445     end
446 end
447 for i =limx(3):(Mx/2)
448     for k = limy(3):limy(3)
449         phi2d(i,k) = (phi2d(i,k-1)+phi2d(i,k+1))/2;
450         k_effxy(i,k) = (k_effxy(i,k-1)+k_effxy(i,k+1))/2;
451         z(i,k) = (z(i,k-1)+z(i,k+1))/2;
452         V2d(i,k) = (V2d(i,k-1)+V2d(i,k+1))/2;
453         C(i,k) = (C(i,k-1)+C(i,k+1))/2;
454     end
455 end
456 %%%TAKE ADVANTAGE OF SYMMEIRY
457 phi2d( ( (Mx/2)+1):Mx , 1:(My/2)) = phi2d( ( (Mx/2)):-1:1) , 1:(My/2)
458 );
459 phi2d( ( 1:(Mx)) ,((My/2)+1):My) = phi2d( ( 1:(Mx)) ,((My/2)):-1:1);
460 k_effxy( ( (Mx/2)+1):Mx , 1:(My/2)) = k_effxy( ( (Mx/2)):-1:1) , 1:(
461 My/2));
462 k_effxy( ( 1:(Mx)) ,((My/2)+1):My) = k_effxy( ( 1:(Mx)) ,((My/2)):-1:1);
463 z( ( (Mx/2)+1):Mx , 1:(My/2)) = z( ( (Mx/2)):-1:1) , 1:(My/2));
464 z( ( 1:(Mx)) ,((My/2)+1):My) = z( ( 1:(Mx)) ,((My/2)):-1:1);

```



```

463 V2d( ( (Mx/2)+1):Mx), 1:(My/2)) = V2d( ( (Mx/2):-1:1), 1:(My/2));
464 V2d( ( 1:(Mx)), ((My/2)+1):My) = V2d( ( 1:(Mx)), ((My/2):-1:1));
465 C( ( (Mx/2)+1):Mx), 1:(My/2)) = C( ( (Mx/2):-1:1), 1:(My/2));
466 C( ( 1:(Mx)), ((My/2)+1):My) = C( ( 1:(Mx)), ((My/2):-1:1));
467 %%%plot parameters for heat equation
468 subplot(2,3,1); pcolor(X,Y,phi2d'); colorbar; a = colorbar; a.Label.String
    = '\it \phi [W/{m^3}]'; xlabel('\it x [m]'); ylabel('\it y [m]
    '); set(gca, 'FontSize', 18);
469 subplot(2,3,2); pcolor(X,Y,k_effxy'); colorbar; a = colorbar; a.Label.
    String = '\it k_{eff} [W/{(m K)}]'; xlabel('\it x [m]'); ylabel('
    \it y [m]'); set(gca, 'FontSize', 18);
470 subplot(2,3,3); pcolor(X,Y,z'); colorbar; a = colorbar; a.Label.String = '
    \it z [m]'; xlabel('\it x [m]'); ylabel('\it y [m]'); set(gca, '
    FontSize', 18);
471 subplot(2,3,4); pcolor(X,Y,V2d'); colorbar; a = colorbar; a.Label.String =
    '\it V [m^3]'; xlabel('\it x [m]'); ylabel('\it y [m]'); set(gca, '
    FontSize', 18);
472 subplot(2,3,5); pcolor(X,Y,C'); colorbar; a = colorbar; a.Label.String = '
    \it C [J/K]'; xlabel('\it x [m]'); ylabel('\it y [m]'); set(gca, '
    FontSize', 18);
473 %%%Check for stability of the explicit finite difference method %%%
474 for i = 1:Mx
475     for k = 1:My
476         Fo_vectx(i,k) = k_effxy(i,k)/(C(i,k)/V2d(i,k))*Dt/(Dx*Dx); %
            Fourier's number
477         Fo_vecty(i,k) = k_effxy(i,k)/(C(i,k)/V2d(i,k))*Dt/(Dy*Dy); %
            Fourier's number
478     end
479 end
480 Fo = max(max(max(Fo_vectx)), max(max(Fo_vecty)));
481 disp(['Stability requires Fo<1/4. It actually is =', num2str(Fo)])
482 if Fo>(1/4), disp('This is unstable; increase number of time steps'), end


---


483 %%%Bidimensional temperature profile equation by means of finite
    elements methods %%%
484 for k = 1:N
485     for i = 2:Mx-1
486         for j = 2:My-1
487             T(i,j,k+1) = T(i,j,k) + (Dt*V2d(i,j))/(C(i,j)*z(i,j))*...
488                 (((k_effxy(i+1,j)+k_effxy(i,j))/2)*((z(i+1,j)+z(i,j))
                    /2)*(T(i+1,j,k)-T(i,j,k))/(Dx^2)...
489                 -((k_effxy(i,j)+k_effxy(i-1,j))/2)*((z(i,j)+z(i-1,j))/2)*(
                    T(i,j,k)-T(i-1,j,k))/(Dx^2)...

```

490  
491  
492  
493  
  
494  
495  
496  
497  
498  
499  
500  
501  
502  
503  
504  
505  
  
506  
507  
508  
  
  
509  
510  
511  
  
  
512  
513  
514  
515  
  
516  
517  
518  
519  
520  
521

```

+((k_effxy(i,j)+k_effxy(i,j+1))/2)*((z(i,j)+z(i,j+1))/2)*(
    T(i,j+1,k)-T(i,j,k))/(Dy^2)...
-((k_effxy(i,j)+k_effxy(i,j-1))/2)*((z(i,j)+z(i,j-1))/2)*(
    T(i,j,k)-T(i,j-1,k))/(Dy^2)...
+ phi2d(i,j)*z(i,j)+...
-((emiss_cara+emiss_comp)*stefan_boltz*(T(i,j,k)^4-T_box
    ^4)) );

    end
end
for i = 2:Mx-1
    T(i, 1, k+1) = T(i, j-1, k);
    T(i, My, k+1) = T(i, j-1, k);
end
end
T_0 = max(max(max(T))) %Max T [K]
T_0_C = convtemp(T_0, 'K', 'C') %Max T [Celsius]
%%%%%%%%%%%%%%%%%%%%%%%%%%%%%%%%%%%%%%%%%%%%%%%%%%%%%%%%%%%%%%%%%%%%%%%%
% Define temperature for easy plotting
T_stat_plot = T(:, :, N); % take
    stationary values
T_stat_plot_central = T(:, (My/2), N);
% Transitory simulation matrix
%
%%%%%%%%%%%%%%%%%%%%%%%%%%%%%%%%%%%%%%%%%%%%%%%%%%%%%%%%%%%%%%%%%%%%%%%%

sim = 'n'; % 'y': Save an animation of transitory phase
sim_frames = 600; % choose number of frames for the simulation
%
%%%%%%%%%%%%%%%%%%%%%%%%%%%%%%%%%%%%%%%%%%%%%%%%%%%%%%%%%%%%%%%%%%%%%%%%

switch(sim)
    case 'y'
        for i = 1:sim_frames
            T_transit_PLOT(:, :, i) = T(:, :, round(N-(350*(i))+1)); % take
                transitory values
        end
    end
%% PLOT stationary %%%
my3dplot(X, Y, T_stat_plot, dx, dy, T_b, T_0) % Plot 2D Temp profile
figure() % Plot 2D central Temp
    profile
hold on

```

```

522     myplot(X, T_stat_plot_central)
523     axis([0 dx T_b*0.9 max(T_stat_plot_central)*1.1])
524     ylabel('\it T [K]'); xlabel('\it x [m]');
525     xline(L, '-'); yline(T_b, '—'); yline(T_0, '—')
526     hold off
527     %%%ANIMATE transitory %%%
528     switch(sim)
529     case 'y'
530         % Contour plot Animation
531         % Initialize video
532         myVideo = VideoWriter('SimTransit5'); % open video file
533         myVideo.FrameRate = 50; % can adjust this
534         open(myVideo)
535         for i = sim_frames:-1:1
536             figure()
537             clf
538             hold on
539             contourf(X,Y,T_transit_PLOT(:, :, i), 15)
540             xlabel('\it x [m]'); ylabel('\it y [m]'); set(gca, '
                    FontSize', 18);
541             colorbar
542             hold off
543             pause(0.01) % Pause and grab frame
544             frame = getframe(gcf); % get frame
545             writeVideo(myVideo, frame);
546             pause(0.01)
547             close()
548         end
549         close all
550         close(myVideo)
551     end
552     %

```

---

```

553 end
554 %

```

---



---

```

555 %%===== FUNCIONES ADICIONALES ===== %%
556 %%%%%%%%%%%%%%%%%%%%%%%%%%%%%%%%%%%%%%%%%%%%%%%%%%%%%%%%%%%%%%%%%%%%%%%%%%%
557 % Effective thermal conductivity k
558 function k_eff = effective(k_vect, l_vect)
559 k_eff = sum(k_vect.*l_vect)/sum(l_vect);

```

```

560 end
561 %%%%%%%%%%%%%%%%%%%%%%%%%%%%%%%%%%%%%%%%%%%%%%%%%%%%%%%%%%%%%%%%%%%%%%%%%
562 % Parabolic temperature eq
563 function T = temp_parb(a, b, x, phi, k)
564 T = a + b * (x) - ( phi/(2*k) ) * (x)^2;
565 end
566 %%%%%%%%%%%%%%%%%%%%%%%%%%%%%%%%%%%%%%%%%%%%%%%%%%%%%%%%%%%%%%%%%%%%%%%%%
567 % 'b' parameter in parabolic temperature eq
568 function b = b_coef(Q, k, A)
569 b = Q / (k * A);
570 end
571 %%%%%%%%%%%%%%%%%%%%%%%%%%%%%%%%%%%%%%%%%%%%%%%%%%%%%%%%%%%%%%%%%%%%%%%%%
572 % Linear temperature eq
573 function T = temp_lin(Q, x, k, A, a)
574 DT = Q * x / (k * A);
575 T = a + DT;
576 end
577 %%%%%%%%%%%%%%%%%%%%%%%%%%%%%%%%%%%%%%%%%%%%%%%%%%%%%%%%%%%%%%%%%%%%%%%%%
578 % Plotting function
579 function myplot(x, y)
580 plot(x,y, '-k','LineWidth',1)
581 box on
582 grid on
583 grid minor
584 axis tight
585 set(gca,'FontSize',18)
586 end
587 %%%%%%%%%%%%%%%%%%%%%%%%%%%%%%%%%%%%%%%%%%%%%%%%%%%%%%%%%%%%%%%%%%%%%%%%%
588 % 3D Plotting function
589 function my3dplot(x, y, z, dx, dy, ymin, ymax)
590 %Contour plot
591 figure()
592 hold on
593 contourf(x,y,z',15)
594 xlabel('\it x [m]')
595 ylabel('\it y [m]');
596 set(gca,'FontSize',18)
597 colorbar
598 hold off
599 % Surf plot
600 figure()
601 hold on

```

```

602 surf(x,y,z')
603 zlabel('\it T [K]')
604 xlabel('\it x [m]')
605 ylabel('\it y [m]');
606 set(gca,'FontSize',18)
607 axis([0 dx 0 dy ymin*0.9 ymax*1.03])
608 hold off
609 end
610 %%%%%%%%%%%%%%%%%%%%%%%%%%%%%%%%%%%%%%%%%%%%%%%%%%%%%%%%%%%%%%%%%%%%%%%%%

```